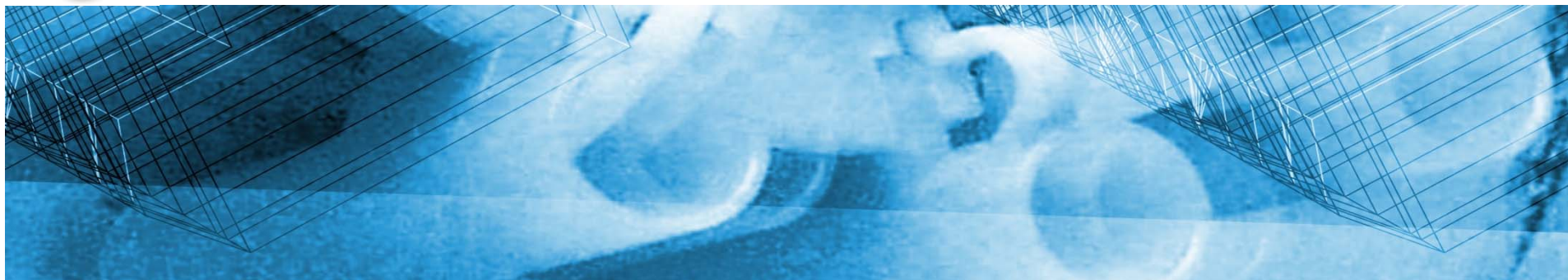




西南交通大学



信号与系统

韩志伟





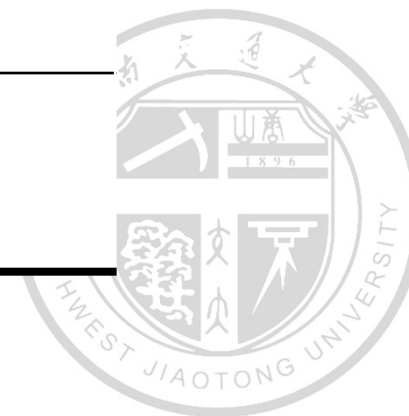
上节课复习：

◆ 卷积积分

◆ 周期信号-傅立叶级数

◆ 周期信号的频谱

◆ 非周期信号-傅立叶变换





周期信号傅里叶级数变换对：

$$f(t) = \sum_{n=-\infty}^{\infty} F_n e^{jn\omega_1 t}$$
$$F_n = \frac{1}{T} \int_T f(t) e^{-jn\omega_1 t} dt$$

非周期信号傅里叶变换对：

$$f(t) = \frac{1}{2\pi} \int_{-\infty}^{\infty} F(j\omega) e^{j\omega t} d\omega$$
$$F(j\omega) = \int_{-\infty}^{\infty} f(t) e^{-j\omega t} dt$$





典型信号傅立叶变换





典型信号傅立叶变换

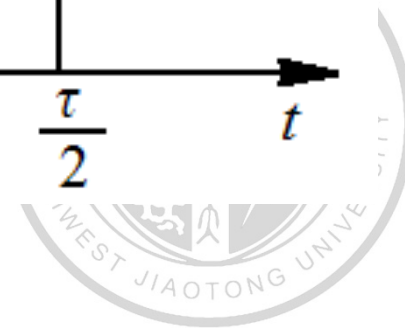
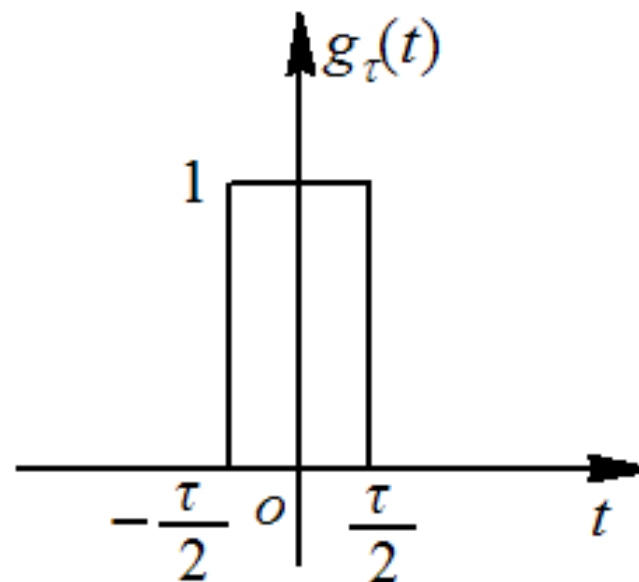
5

❖ 门函数

矩形脉冲一般称为门函数。

其宽度为 τ ，高度为1，通常用符号 $g_\tau(t)$ 来表示。

$$g_\tau(t) = \begin{cases} 1 & |t| < \frac{\tau}{2} \\ 0 & |t| > \frac{\tau}{2} \end{cases}$$





典型信号傅立叶变换

6

门函数 $g_\tau(t)$ 的傅里叶变换为：

$$\begin{aligned} F(j\omega) &= \int_{-\infty}^{\infty} g_\tau(t) e^{-j\omega t} dt = \int_{-\frac{\tau}{2}}^{\frac{\tau}{2}} e^{-j\omega t} dt = \frac{e^{-j\frac{\omega\tau}{2}} - e^{j\frac{\omega\tau}{2}}}{-j\omega} \\ &= \frac{2 \sin(\omega\tau / 2)}{\omega} = \tau \frac{\sin(\omega\tau / 2)}{\omega\tau / 2} = \tau \text{Sa}\left(\frac{\omega\tau}{2}\right) \end{aligned}$$

$$\text{幅度频谱： } |F(j\omega)| = \begin{cases} \tau & \omega = 0 \\ 0 & \omega = \frac{2k\pi}{\tau} \quad (k = \pm 1, \pm 2, \dots) \end{cases}$$

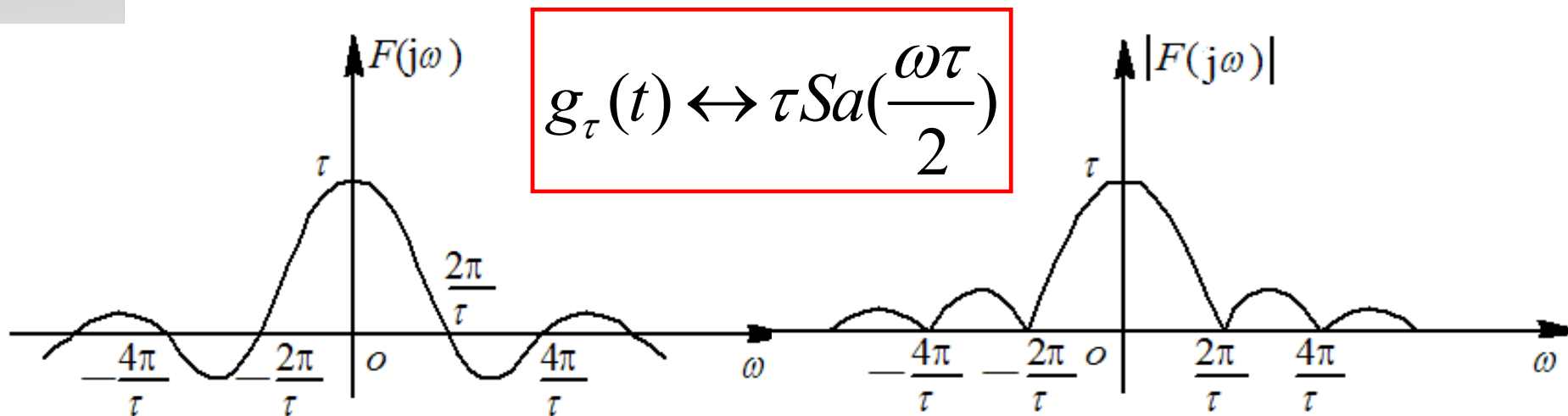
$$\text{相位频谱： } \varphi_n = \begin{cases} 0 & F(j\omega) > 0 \\ \pm\pi & F(j\omega) < 0 \end{cases}$$





典型信号傅立叶变换

7

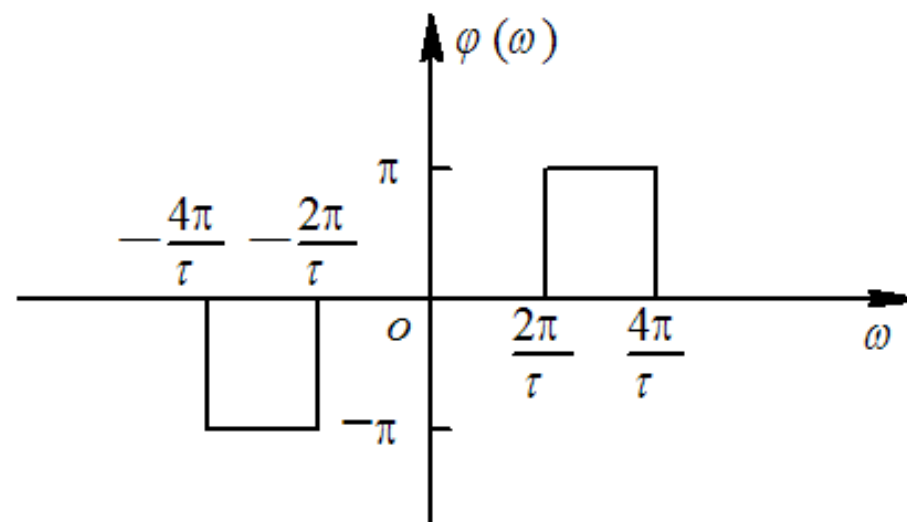


频带宽度:

$$\omega = 0 \sim \frac{2\pi}{\tau}$$

$$\omega_B = \frac{2\pi}{\tau} (\text{rad/s})$$

$$f_B = \frac{1}{\tau} (\text{Hz})$$



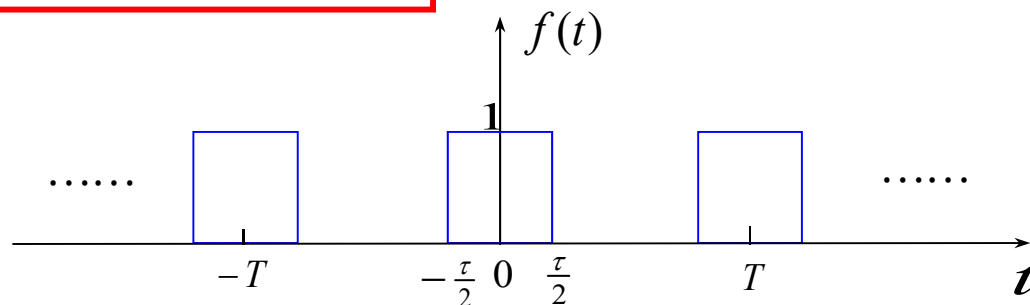
JIAOTONG



典型信号傅立叶变换

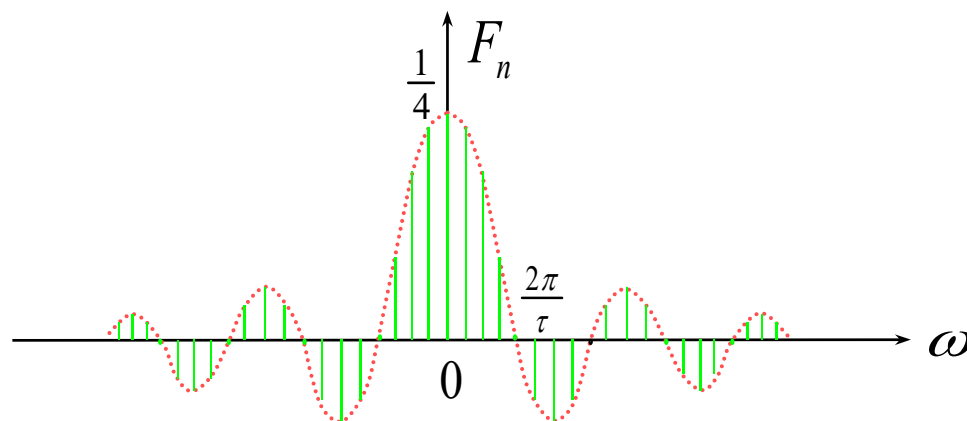
8

周期矩形脉冲的频谱



频谱为:

$$F_n = \frac{\tau}{T} \text{Sa}\left(\frac{n\omega_1\tau}{2}\right) \quad n = 0, \pm 1, \pm 2, \dots$$





典型信号傅立叶变换

9

周期和非周期矩形脉冲信号频谱的对比

1) 非周期矩形脉冲信号的频谱是**连续频谱**，其形状与周期矩形脉冲信号离散频谱的**包络线**相似，它们都具有**抽样函数** $Sa(x)$ 的形式。

2) $F_n = \frac{\tau}{T} Sa(\frac{n\omega_1\tau}{2})$ 和 $F(j\omega) = \tau Sa(\frac{\omega\tau}{2})$ 。

a. F_n 值较 $F(j\omega)$ 值多乘了 $\frac{1}{T}$ ，这是由于两者的定义规定的。

b. 对于由非周期脉冲按一定的周期 T 重复后构成的周期信号， $F(j\omega)$ 和 F_n 之间可以互求。

✖ F_n 可以通过对 $F(j\omega)$ 等间隔取样求得，

✖ $F(j\omega)$ 可以通过将 F_n 中 $n\omega_1$ 换成连续变量 ω 得



典型信号傅立叶变换

10

- 3) 非周期信号的频谱和周期信号的频谱一样也具有收敛性。
- 4) 非周期信号带宽的定义方法与周期信号相同。
- 5) 非周期信号的频谱分量主要集中在零频到第一个过零点之间，即有效带宽内。
- 6) （周期或非周期）信号在时域有限，则在频域将无限延续。
- 7) （周期或非周期信号）脉冲宽度 τ 越窄，有效带宽越宽，高频分量越多，即信号信息量大，传送信号所占用的频带越宽。

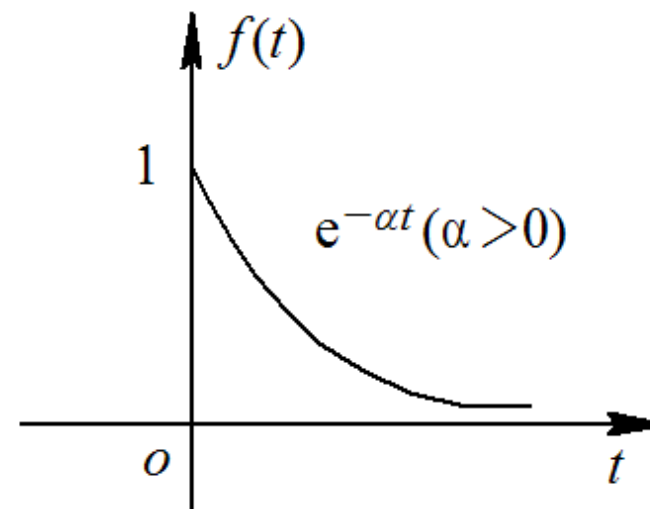


典型信号傅立叶变换

11

❖ 单边指数信号一

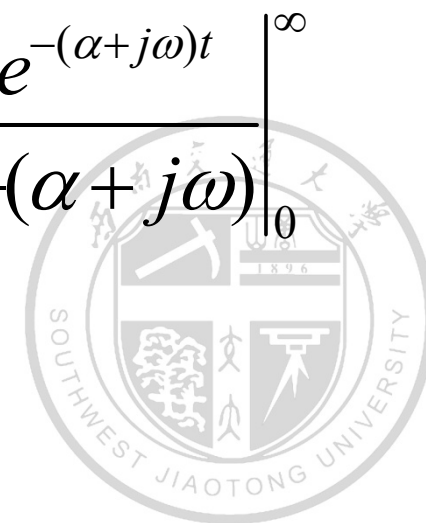
$$f(t) = \begin{cases} e^{-\alpha t} & t > 0 \\ 0 & t < 0 \end{cases} \quad (\alpha > 0)$$
$$= e^{-\alpha t} \varepsilon(t)$$



其傅立叶变换：

$(\alpha < 0)$ 傅立叶变换不存在

$$F(j\omega) = \int_{-\infty}^{\infty} f(t) e^{-j\omega t} dt = \int_0^{\infty} e^{-\alpha t} \cdot e^{-j\omega t} dt = \frac{e^{-(\alpha+j\omega)t}}{-(\alpha+j\omega)} \Big|_0^{\infty}$$
$$= \frac{1}{\alpha + j\omega} = \frac{1}{\sqrt{\alpha^2 + \omega^2}} \cdot e^{-j \arctan \frac{\omega}{\alpha}}$$

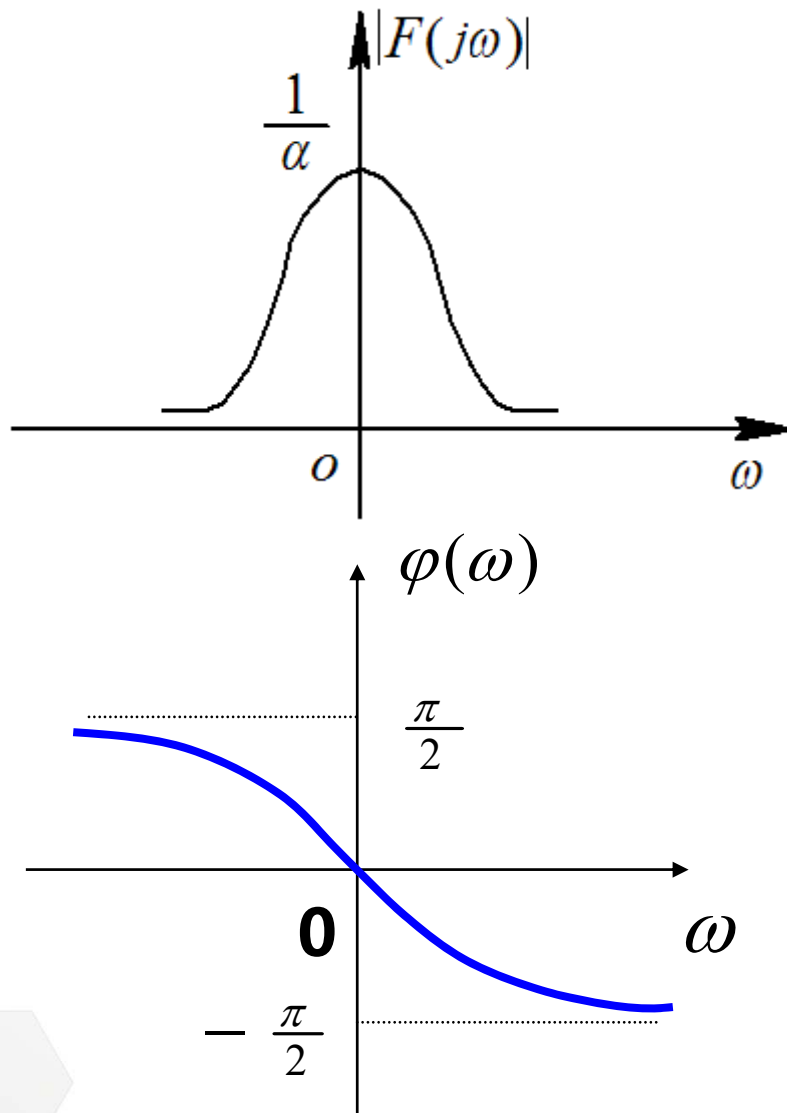




典型信号傅立叶变换

12

❖ 单边指数信号一



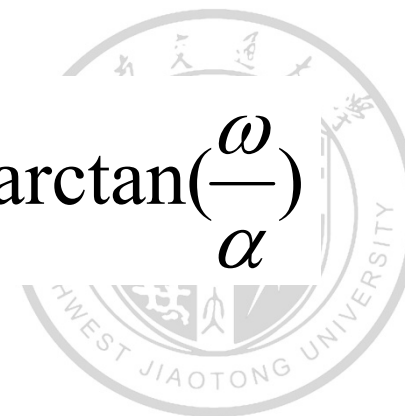
$$e^{-\alpha t} \varepsilon(t) \leftrightarrow \frac{1}{\alpha + j\omega}$$

幅度频谱：

$$|F(j\omega)| = \frac{1}{\sqrt{\alpha^2 + \omega^2}}$$

相位频谱：

$$\varphi(\omega) = -\arctan\left(\frac{\omega}{\alpha}\right)$$





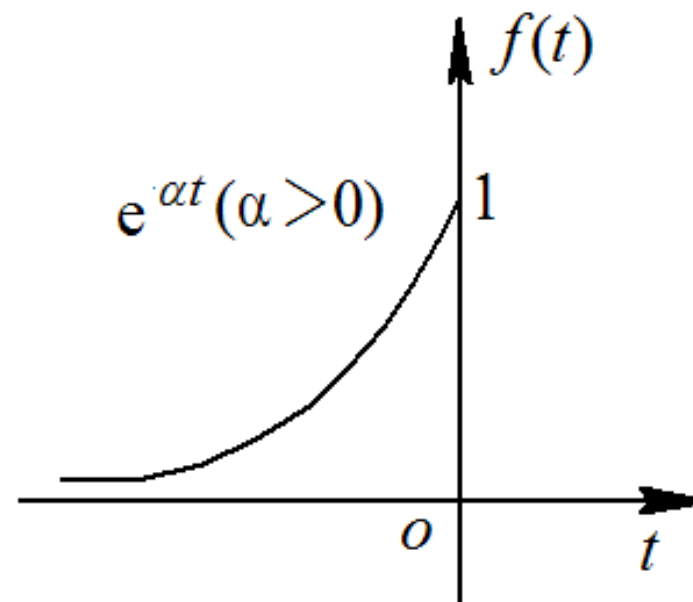
典型信号傅立叶变换

13

❖ 单边指数信号二

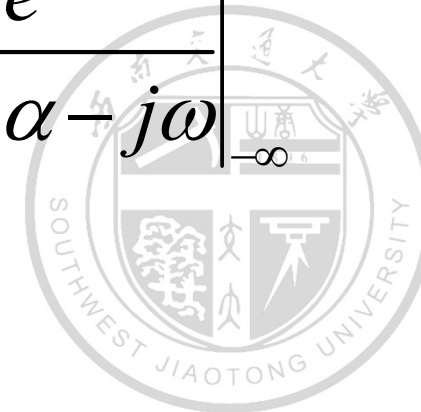
$$f(t) = \begin{cases} e^{\alpha t} & t < 0 \\ 0 & t > 0 \end{cases} \quad (\alpha > 0)$$

$$= e^{\alpha t} \varepsilon(-t)$$



其傅立叶变换：

$$\begin{aligned} F(j\omega) &= \int_{-\infty}^{\infty} f(t) e^{-j\omega t} dt = \int_{-\infty}^0 e^{\alpha t} \cdot e^{-j\omega t} dt = \frac{e^{(\alpha-j\omega)t}}{\alpha-j\omega} \Big|_{-\infty}^0 \\ &= \frac{1}{\alpha-j\omega} = \frac{1}{\sqrt{\alpha^2 + \omega^2}} \cdot e^{j \arctan \frac{\omega}{\alpha}} \end{aligned}$$

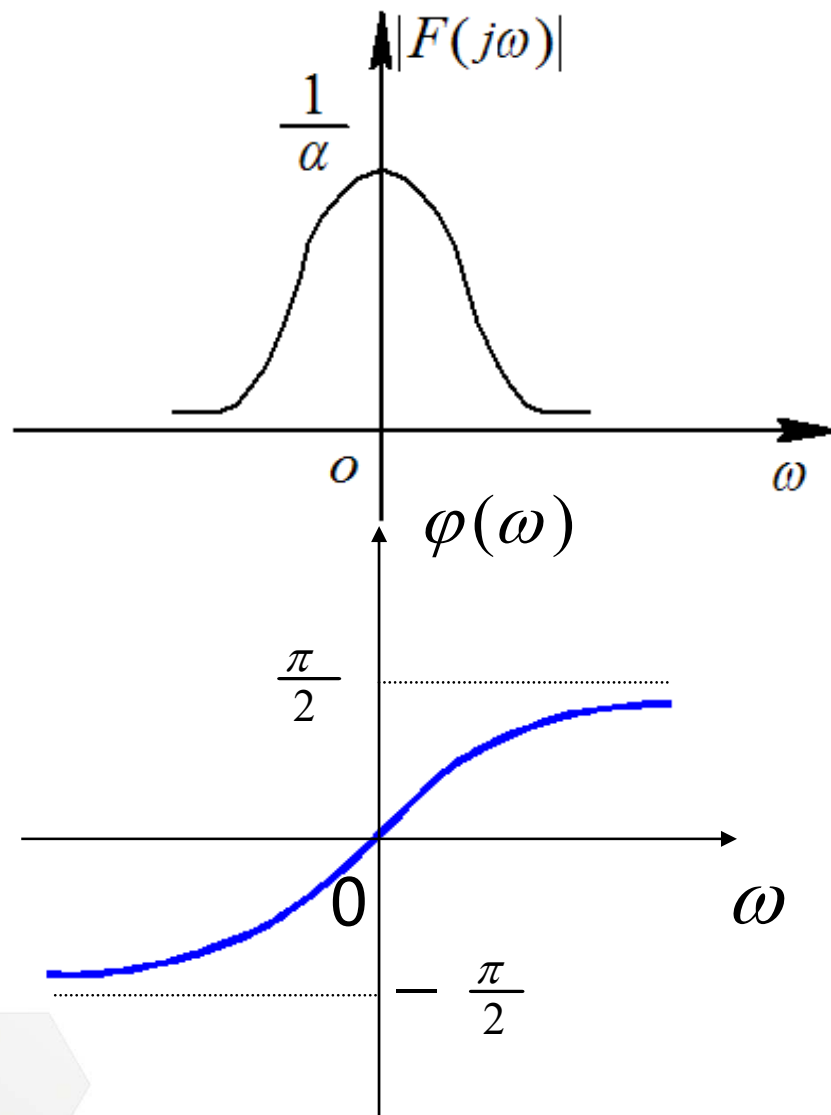




典型信号傅立叶变换

14

❖ 单边指数信号二



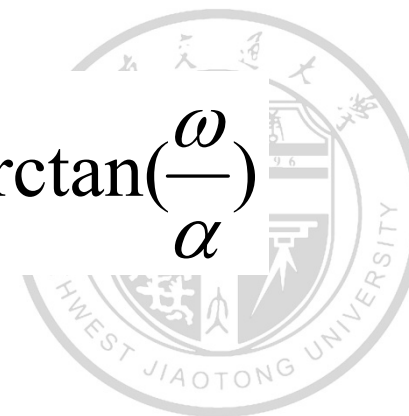
$$e^{\alpha t} \varepsilon(-t) \leftrightarrow \frac{1}{\alpha - j\omega}$$

幅度频谱：

$$|F(j\omega)| = \frac{1}{\sqrt{\alpha^2 + \omega^2}}$$

相位频谱：

$$\varphi(\omega) = \arctan\left(\frac{\omega}{\alpha}\right)$$



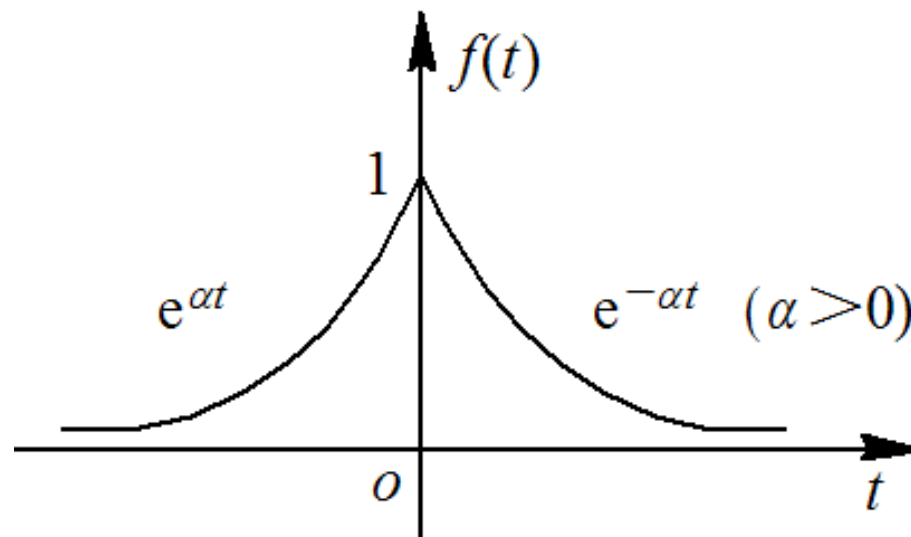


典型信号傅立叶变换

15

❖ 双边指数信号一

$$f(t) = \begin{cases} e^{-at} & t > 0 \\ e^{at} & t < 0 \end{cases}$$
$$= e^{-\alpha|t|}$$



其傅立叶变换：

$$F(j\omega) = \int_{-\infty}^{\infty} f(t)e^{-j\omega t} dt = \int_{-\infty}^0 e^{\alpha t} \cdot e^{-j\omega t} dt + \int_0^{\infty} e^{-\alpha t} \cdot e^{-j\omega t} dt$$
$$= \frac{1}{\alpha - j\omega} + \frac{1}{\alpha + j\omega} = \frac{2\alpha}{\alpha^2 + \omega^2}$$



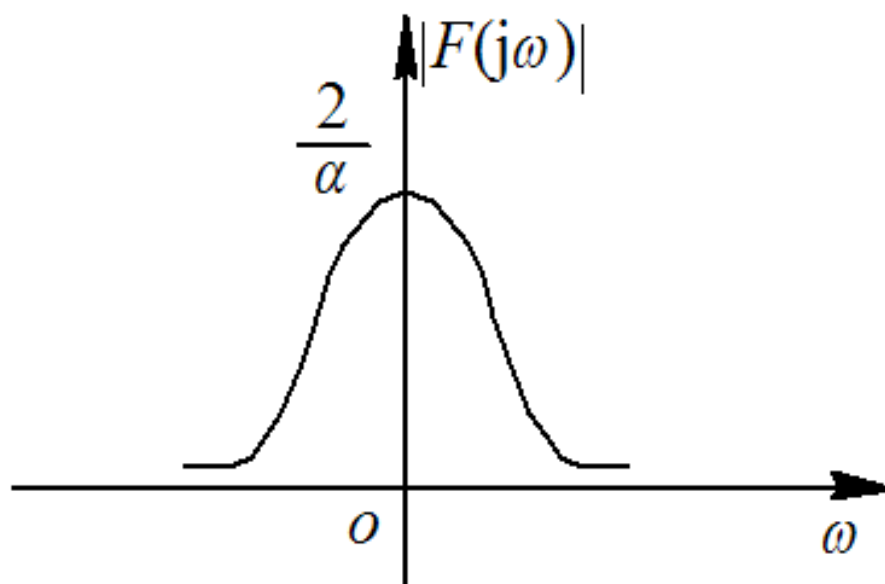


典型信号傅立叶变换

16

❖ 双边指数信号一

$$e^{-\alpha|t|} (\alpha > 0) \leftrightarrow \frac{2\alpha}{\alpha^2 + \omega^2}$$



幅度频谱：

$$|F(j\omega)| = \frac{2\alpha}{\alpha^2 + \omega^2}$$

相位频谱：

$$\varphi(\omega) = 0$$

由于 $f(t)$ 为偶函数，所以 $F(j\omega)$ 为 ω 的实函数，且为 ω 的偶函数。



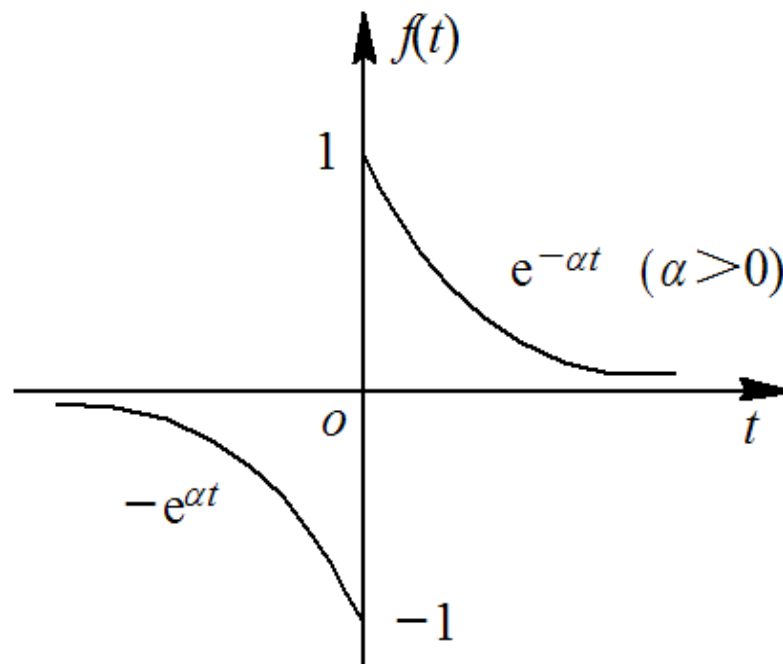


典型信号傅立叶变换

17

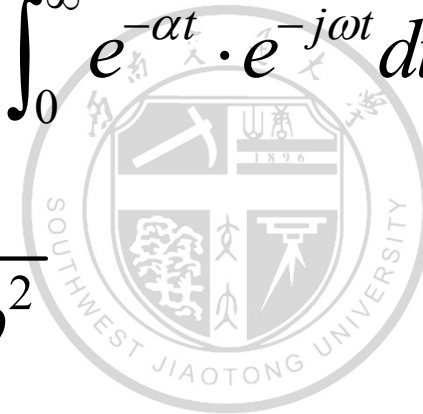
❖ 双边指数信号二

$$f(t) = \begin{cases} e^{-\alpha t} & t > 0 \\ -e^{\alpha t} & t < 0 \end{cases}$$
$$= e^{-\alpha t} \varepsilon(t) - e^{\alpha t} \varepsilon(-t)$$



其傅立叶变换：

$$F(j\omega) = \int_{-\infty}^{\infty} f(t) e^{-j\omega t} dt = -\int_{-\infty}^0 e^{\alpha t} \cdot e^{-j\omega t} dt + \int_0^{\infty} e^{-\alpha t} \cdot e^{-j\omega t} dt$$
$$= -\frac{1}{\alpha - j\omega} + \frac{1}{\alpha + j\omega} = j \frac{-2\omega}{\alpha^2 + \omega^2}$$

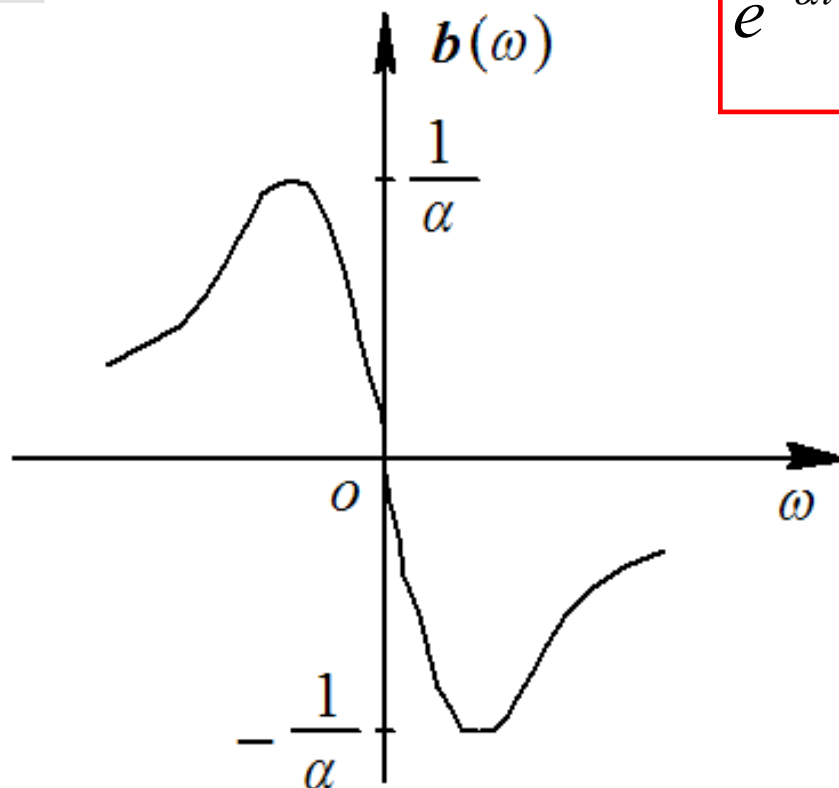




典型信号傅立叶变换

18

❖ 双边指数信号二



由于 $f(t)$ 为奇函数，所以 $F(j\omega)$ 为 ω 的纯虚函数，且为 ω 的奇函数。

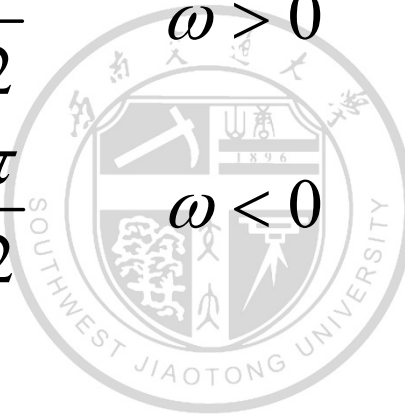
$$e^{-\alpha t} \varepsilon(t) - e^{\alpha t} \varepsilon(-t) \leftrightarrow j \frac{-2\omega}{\alpha^2 + \omega^2} = jb(\omega)$$

幅度频谱:

$$|F(j\omega)| = \frac{2\omega}{\alpha^2 + \omega^2}$$

相位频谱:

$$\varphi(\omega) = \begin{cases} -\frac{\pi}{2} & \omega > 0 \\ +\frac{\pi}{2} & \omega < 0 \end{cases}$$





典型信号傅立叶变换

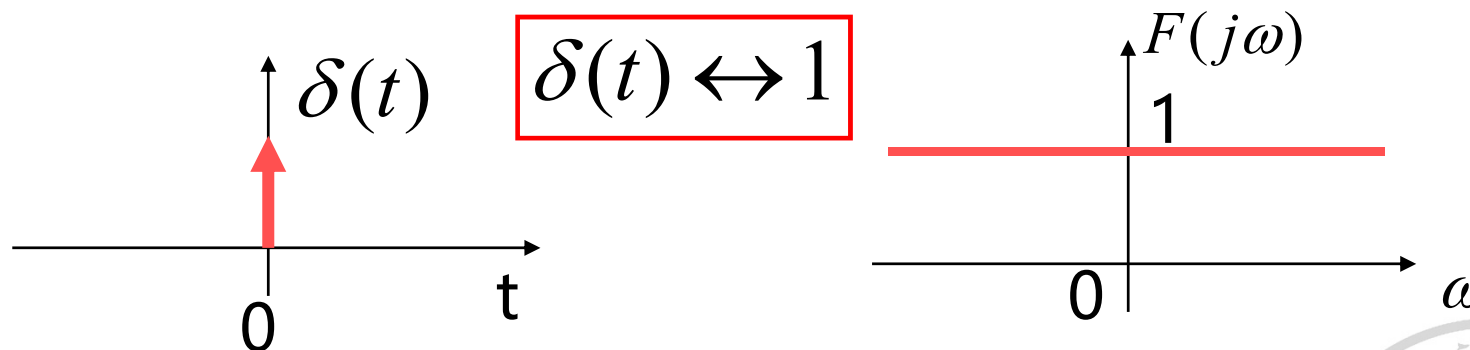
19

❖ 冲激函数

由傅立叶变换的定义式有：

取样性质

$$F(j\omega) = \int_{-\infty}^{\infty} \delta(t) e^{-j\omega t} dt = 1$$



物理意义：在时域中变化异常剧烈的冲激函数包含幅度相等的所有频率分量，这种频谱常称为“均匀谱”或“白色谱”。



典型信号傅立叶变换

20

❖ 直流信号1

直流信号1可表示为： $f(t) = 1 \quad -\infty < t < \infty$

$$F(j\omega) = \int_{-\infty}^{\infty} 1 \cdot e^{-j\omega t} dt \quad (\text{不满足绝对可积条件})$$

因为 $\delta(t) \leftrightarrow 1$ ，由傅立叶逆变换的定义式有：

$$\delta(t) = \frac{1}{2\pi} \int_{-\infty}^{\infty} 1 \cdot e^{j\omega t} d\omega$$

$$\text{令 } t = \omega, \text{ 则 } \delta(\omega) = \frac{1}{2\pi} \int_{-\infty}^{\infty} 1 \cdot e^{jt\omega} dt$$

由于冲激信号是偶函数，所以





典型信号傅立叶变换

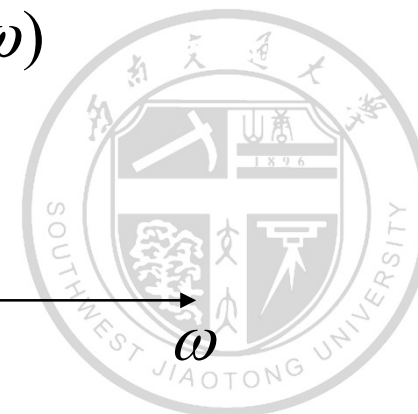
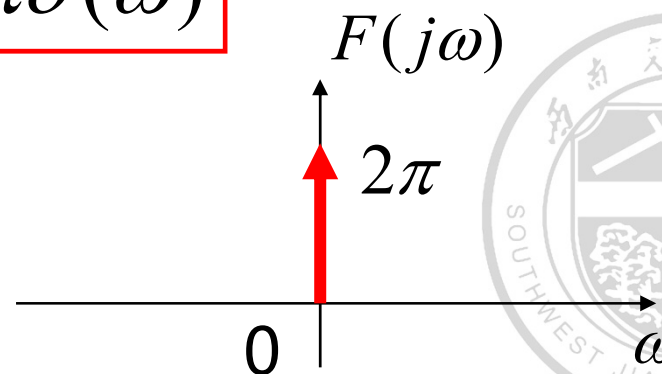
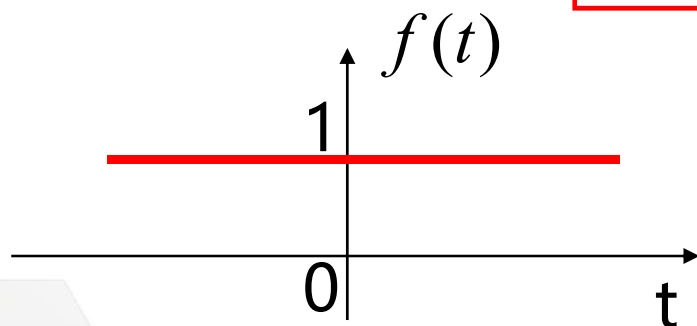
21

$$\delta(\omega) = \delta(-\omega) = \frac{1}{2\pi} \int_{-\infty}^{\infty} 1 \cdot e^{-j\omega t} dt$$

即 $\int_{-\infty}^{\infty} 1 \cdot e^{-j\omega t} dt = 2\pi\delta(\omega)$

故 $F(j\omega) = 2\pi\delta(\omega)$

$$1 \leftrightarrow 2\pi\delta(\omega)$$





典型信号傅立叶变换

22

编 号	$f(t)$	$F(j\omega)$
1	$g_\tau(t)$	$\tau \text{Sa}\left(\frac{\omega\tau}{2}\right)$
2	$\tau \text{Sa}\left(\frac{\tau t}{2}\right)$	$2\pi g_\tau(\omega)$
3	$e^{-\alpha}\epsilon(t), \alpha > 0$	$\frac{1}{\alpha + j\omega}$
4	$te^{-\alpha}\epsilon(t), \alpha > 0$	$\frac{1}{(\alpha + j\omega)^2}$
5	$e^{-\alpha t }, \alpha > 0$	$\frac{2\alpha}{\alpha^2 + \omega^2}$
6	$\delta(t)$	1
7	1	$2\pi\delta(\omega)$
8	$\delta(t-t_0)$	$e^{-j\omega t_0}$
9	$\cos \omega_0 t$	$\pi\delta(\omega - \omega_0) + \pi\delta(\omega + \omega_0)$
10	$\sin \omega_0 t$	$\frac{\pi}{j} [\delta(\omega - \omega_0) - \delta(\omega + \omega_0)]$



典型信号傅立叶变换

23

编 号	$f(t)$	$F(j\omega)$
11	$\varepsilon(t)$	$\pi\delta(\omega) + \frac{1}{j\omega}$
12	$\text{Sgn}(t)$	$\frac{2}{j\omega}, F(0)=0$
13	$\frac{1}{\pi t}$	$-j \text{Sgn}(\omega)$
14	$\delta_T(t)$	$\Omega\delta_\Omega(\omega)$
15	$\sum_{n=-\infty}^{\infty} F_n e^{jn\Omega t}$	$2\pi \sum_{n=-\infty}^{\infty} F_n \delta(\omega - n\Omega)$
16	$\frac{t^{n-1}}{(n-1)!} e^{-at} \varepsilon(t), a>0$	$\frac{1}{(a+j\omega)^n}$





傅立叶变换的性质





傅立叶变换的性质

25

一. 线性性质

若 $f_1(t) \leftrightarrow F_1(j\omega)$, $f_2(t) \leftrightarrow F_2(j\omega)$,

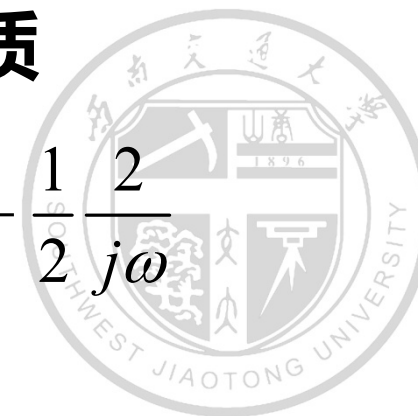
且设 a_1, a_2 为常数 , 则有

$$a_1 f_1(t) + a_2 f_2(t) \leftrightarrow a_1 F_1(j\omega) + a_2 F_2(j\omega)$$

例.利用傅里叶变换的性质求单位阶跃信号的频谱函数。

解：因为 $u(t) = \frac{1}{2} + \frac{1}{2} \text{sgn}(t)$ **由线性性质**

$$\begin{aligned} F(j\omega) &= \frac{1}{2} F[1] + \frac{1}{2} F[\text{sgn}(t)] = \frac{1}{2} 2\pi\delta(\omega) + \frac{1}{2} \frac{2}{j\omega} \\ &= \pi\delta(\omega) + \frac{1}{j\omega} \end{aligned}$$

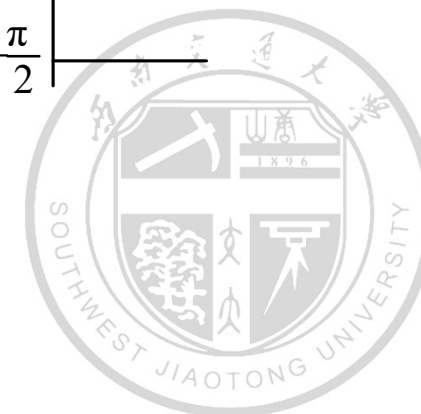
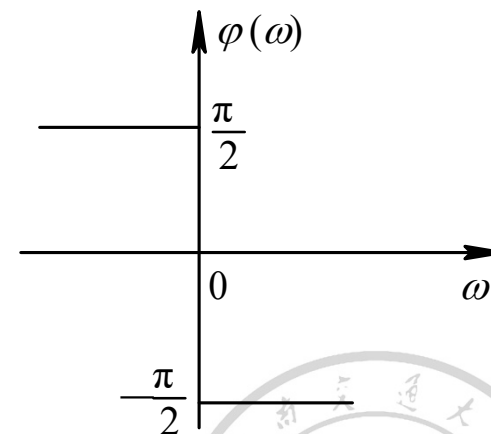
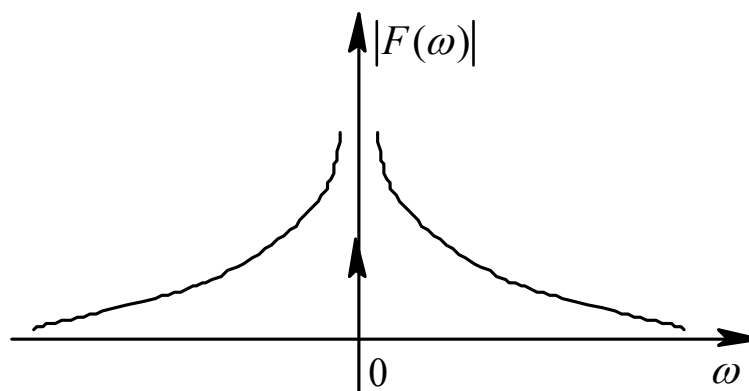
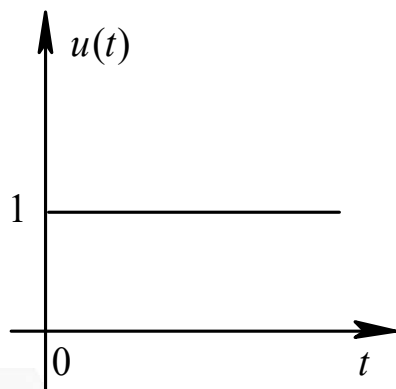




傅立叶变换的性质

26

$$u(t) \leftrightarrow \pi\delta(\omega) + \frac{1}{j\omega}$$





傅立叶变换的性质

27

二. 时移特性

若 $f(t) \leftrightarrow F(j\omega)$, 则 $f(t - t_0) \leftrightarrow F(j\omega)e^{-j\omega t_0}$

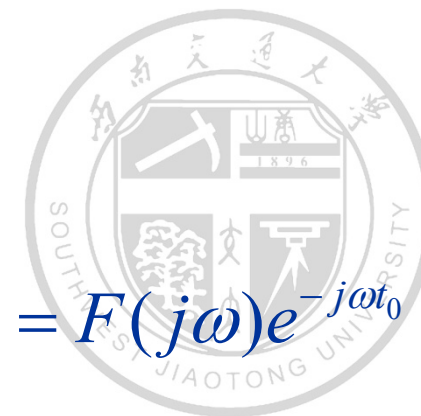
式中 t_0 为实常数(可正可负)

若 $F(j\omega) = |F(j\omega)|e^{j\phi(\omega)}$ 则 $f(t - t_0) \leftrightarrow |F(j\omega)|e^{j[\phi(\omega) - \omega t_0]}$

幅度频谱无变化, 只影响相位频谱

证明：

$$\begin{aligned} F[f(t - t_0)] &= \int_{-\infty}^{\infty} f(t - t_0) e^{-j\omega t} dt \\ \text{令 } x &= t - t_0 \quad = \int_{-\infty}^{\infty} f(x) e^{-j\omega(x+t_0)} dx \\ &= e^{-j\omega t_0} \int_{-\infty}^{\infty} f(x) e^{-j\omega x} dx = F(j\omega) e^{-j\omega t_0} \end{aligned}$$





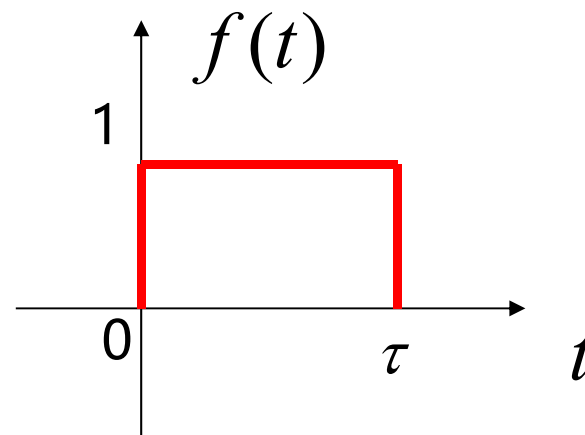
傅立叶变换的性质

28

例：求图示函数的频谱。

解： $f(t) = g_{\tau}(t - \frac{\tau}{2})$

$$g_{\tau}(t) \longleftrightarrow \tau \text{Sa}\left(\frac{\omega\tau}{2}\right)$$



由时移特性 $f(t - t_0) \leftrightarrow F(j\omega)e^{-j\omega t_0}$

$$\therefore f(t) = g_{\tau}(t - \frac{\tau}{2}) \longleftrightarrow \tau \text{Sa}\left(\frac{\omega\tau}{2}\right) e^{-j\omega \frac{\tau}{2}}$$

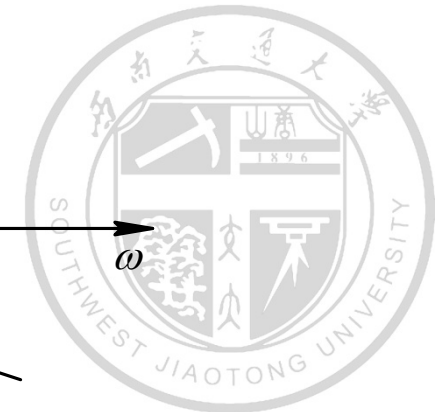
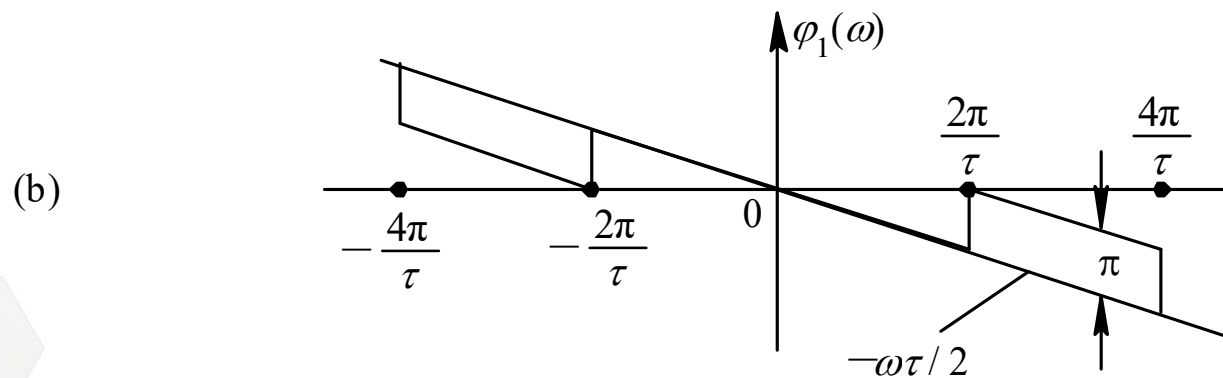
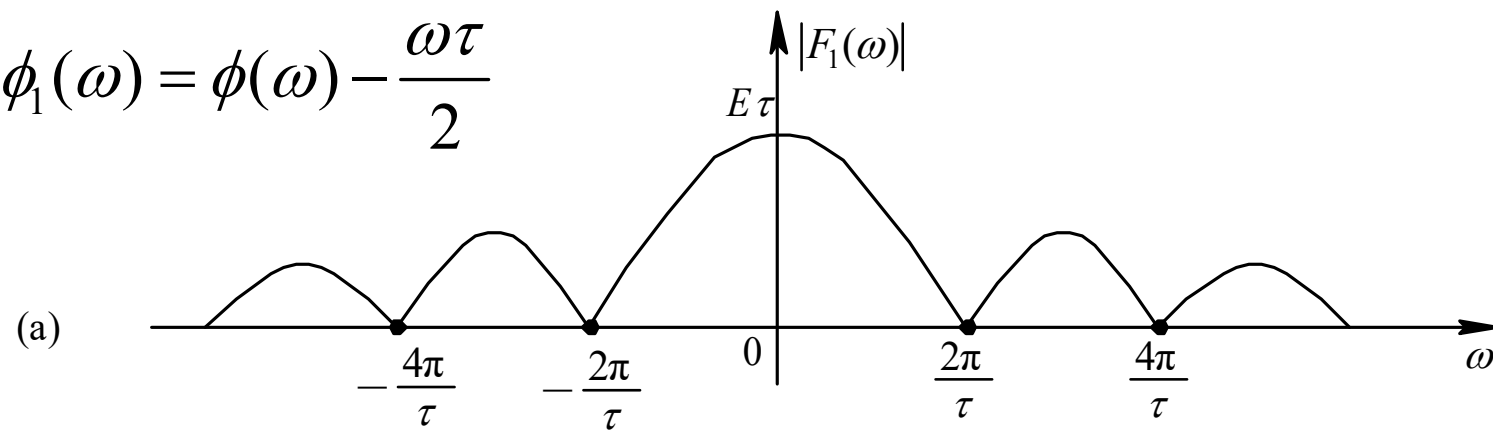




$$f(t) = g_\tau\left(t - \frac{\tau}{2}\right) \longleftrightarrow \tau \text{Sa}\left(\frac{\omega\tau}{2}\right) e^{-j\omega\frac{\tau}{2}}$$

$$|F_1(\omega)| = |F(\omega)| = \tau \left| \text{Sa} \frac{\omega\tau}{2} \right|$$

$$\phi_1(\omega) = \phi(\omega) - \frac{\omega\tau}{2}$$





傅立叶变换的性质

30

三．频移特性

若 $f(t) \leftrightarrow F(j\omega)$, 且 ω_0 为实常数 , 则

$$\left. \begin{aligned} f(t)e^{j\omega_0 t} &\leftrightarrow F[j(\omega - \omega_0)] \\ f(t)e^{-j\omega_0 t} &\leftrightarrow F[j(\omega + \omega_0)] \end{aligned} \right\}$$

注意 ω_0 的 \pm 号

证明：

$$\begin{aligned} F[f(t)e^{j\omega_0 t}] &= \int_{-\infty}^{\infty} [f(t)e^{j\omega_0 t}] e^{-j\omega t} dt \\ &= \int_{-\infty}^{\infty} f(t) e^{-j(\omega - \omega_0)t} dt \\ &= F[j(\omega - \omega_0)] \end{aligned}$$





傅立叶变换的性质

31

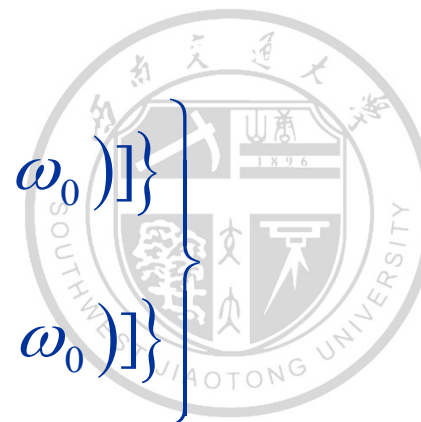
频移特性表明信号在时域中与复因子相乘，则在频域中将使整个频谱搬移 ω_0 。

应用：通信中**调制与解调**，频分复用

实际调制解调的载波(本振)信号是正、余弦信号，借助欧拉公式正、余弦信号可以分别表示为

推论：**调制定理**

$$\left. \begin{aligned} f(t)\cos\omega_0 t &\leftrightarrow \frac{1}{2} \{ F[j(\omega - \omega_0)] + F[j(\omega + \omega_0)] \} \\ f(t)\sin\omega_0 t &\leftrightarrow \frac{1}{2j} \{ F[j(\omega - \omega_0)] - F[j(\omega + \omega_0)] \} \end{aligned} \right\}$$





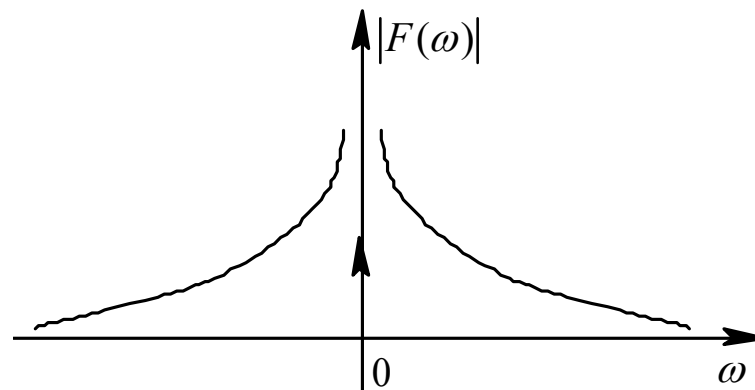
傅立叶变换的性质

32

例: 求 $f(t)=\cos\omega_0 t u(t)$ 的频谱函数。

解 已知

$$u(t) \leftrightarrow \pi\delta(\omega) + \frac{1}{j\omega}$$

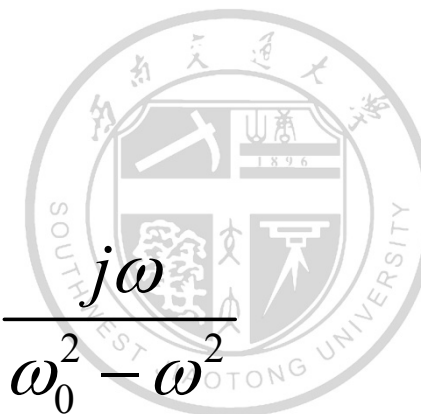


利用调频性

$$\cos \omega_0 t u(t) \leftrightarrow \frac{\pi}{2} [\delta(\omega + \omega_0) + \delta(\omega - \omega_0)]$$

$$+ \frac{1}{2j(\omega + \omega_0)} + \frac{1}{2j(\omega - \omega_0)}$$

$$= \frac{\pi}{2} [\delta(\omega + \omega_0) + \delta(\omega - \omega_0)] + \frac{j\omega}{\omega_0^2 - \omega^2}$$

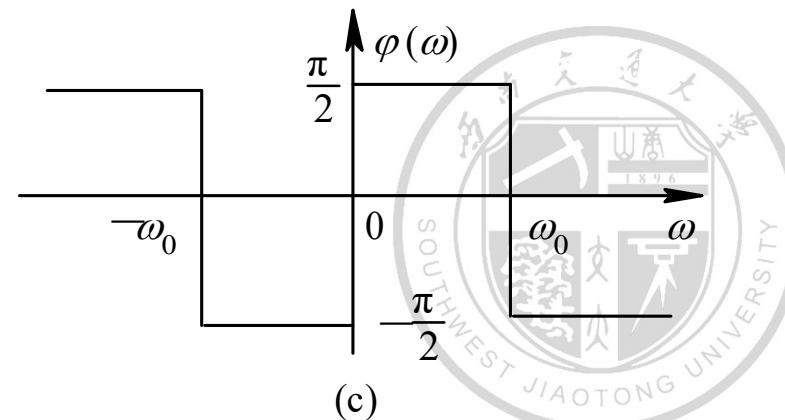
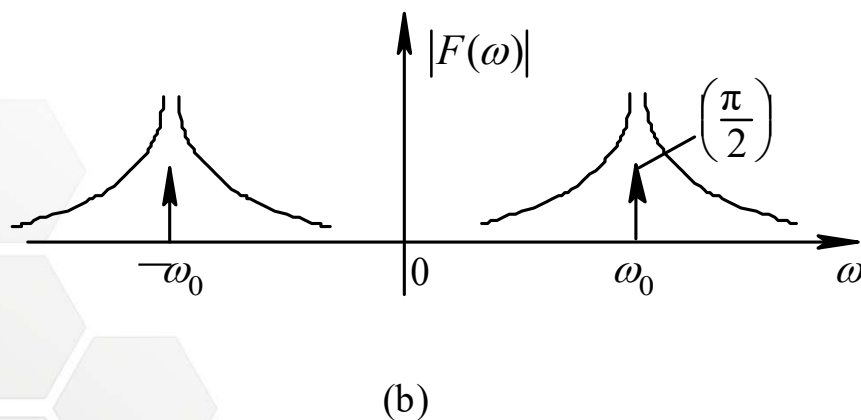
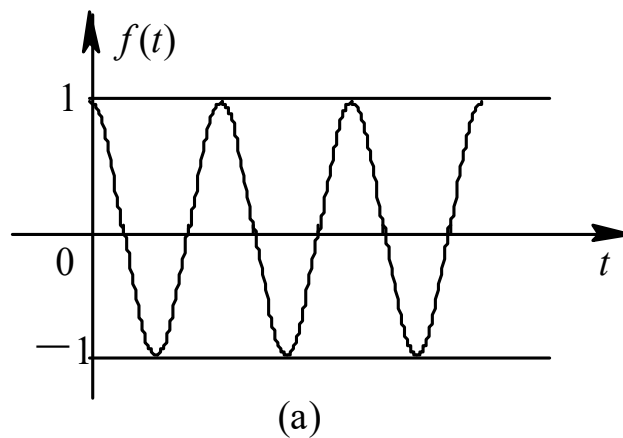




傅立叶变换的性质

33

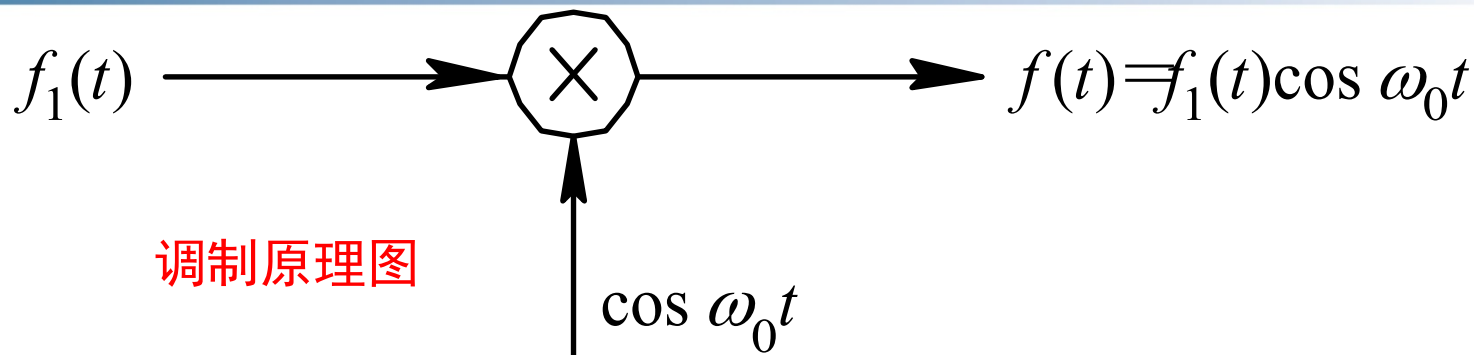
$$\cos \omega_0 t u(t) \leftrightarrow \frac{\pi}{2} [\delta(\omega + \omega_0) + \delta(\omega - \omega_0)] + \frac{j\omega}{\omega_0^2 - \omega^2}$$





傅立叶变换的性质

34



在接收端将已调信号 $f(t)$ 恢复为原信号 $f_1(t)$ 的过程为解调。一种同步解调的原理:

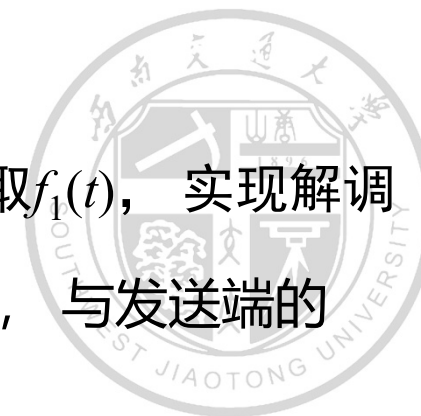
$$f_0(t) = [f_1(t) \cos(\omega_0 t)] \cos \omega_0 t = \frac{1}{2} [f_1(t) + f_1(t) \cos(2\omega_0 t)]$$

利用线性与频移特性, 对应的频谱函数为

$$F(\omega_0) = \frac{1}{2} F_1(\omega) + \frac{1}{4} F_1(\omega - 2\omega_0) + \frac{1}{4} F_1(\omega + 2\omega_0)$$

利用一个低通滤波器, 滤除 $2\omega_0$ 附近的频率分量, 即可提取 $f_1(t)$, 实现解调

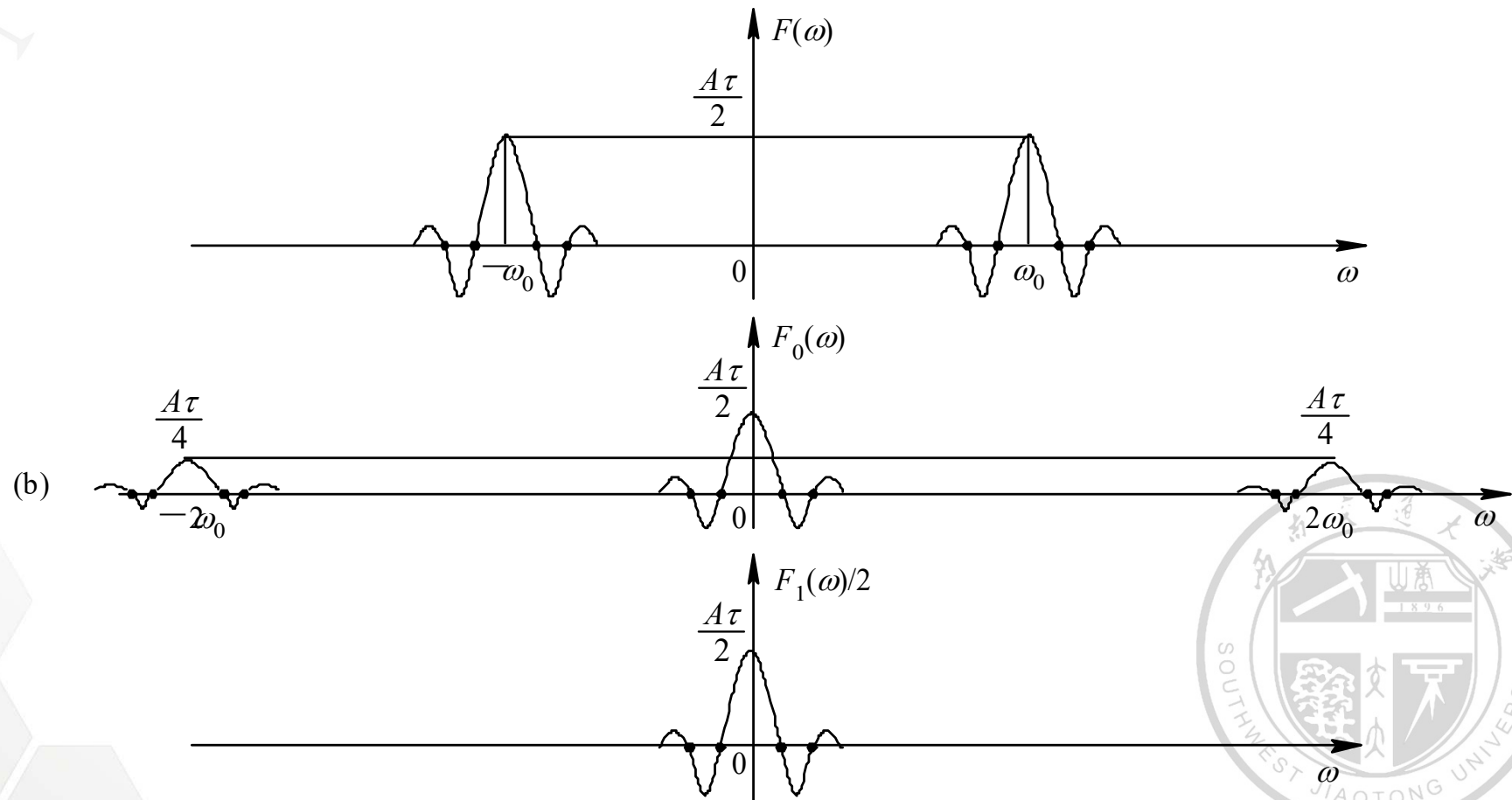
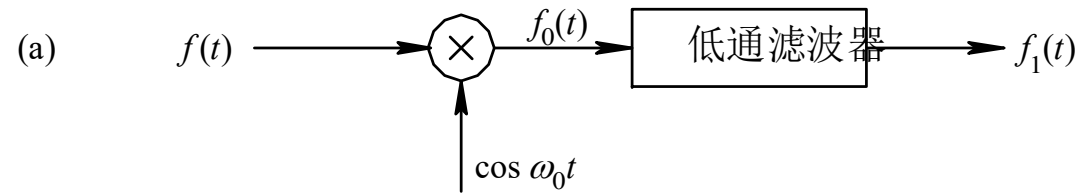
$\cos \omega_0 t$ 为接收端的本地载波信号 (通常称本振信号), 与发送端的载波信号同频同相。





傅立叶变换的性质

35





傅立叶变换的性质

36

四. 尺度变换性质

若 $f(t) \leftrightarrow F(j\omega)$, a 为非零实常数,
则 $f(at) \leftrightarrow \frac{1}{|a|} F(j\frac{\omega}{a})$

证明 : 当 $a > 0$ 时, 令 $at = x$, 则 $dt = \frac{1}{a} dx, t = \frac{x}{a}$, 代入上式

$$F[f(at)] = \frac{1}{a} \int_{-\infty}^{\infty} f(x) e^{-j\frac{\omega}{a}x} dx = \frac{1}{a} F\left(\frac{\omega}{a}\right)$$

当 $a < 0$ 时, 令 $at = x$, 则 $dt = -1/a dx$, 代入上式

$$\begin{aligned} F[f(at)] &= \frac{1}{a} \int_{\infty}^{-\infty} f(x) e^{-j\frac{\omega}{a}x} dx \quad (\text{再令 } x=t \text{ 且积分上、下限互换}) \\ &= \frac{-1}{a} \int_{-\infty}^{\infty} f(t) e^{-j\frac{\omega}{a}t} dt = \frac{1}{|a|} F\left(\frac{\omega}{a}\right) \end{aligned}$$





傅立叶变换的性质

37

综合 $a>0$ 、 $a<0$ 两种情况，尺度变换特性表示为

$$f(at) \leftrightarrow \frac{1}{|a|} F\left(\frac{\omega}{a}\right)$$

意义：

- (1) $0 < a < 1$ 时域扩展，频域压缩，频谱幅度增大；
- (2) $a > 1$ 时域压缩，频域扩展 a 倍，频谱幅度减小；
- (3) $a = -1$ $f(t) \rightarrow f(-t)$, $F(j\omega) \rightarrow F(-j\omega)$

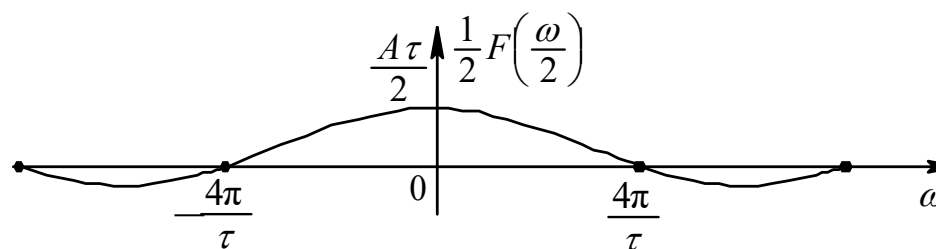
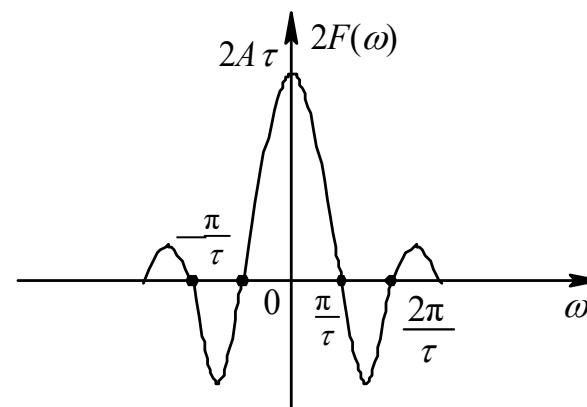
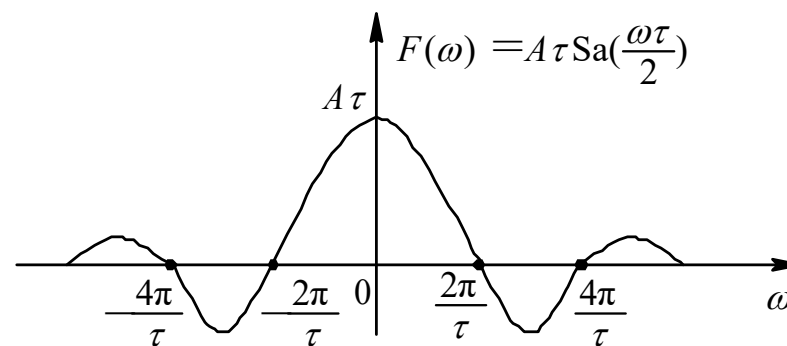
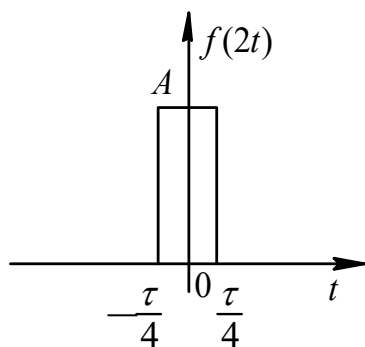
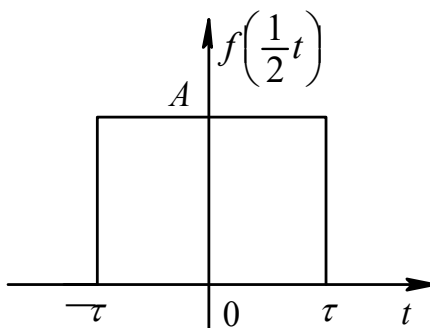
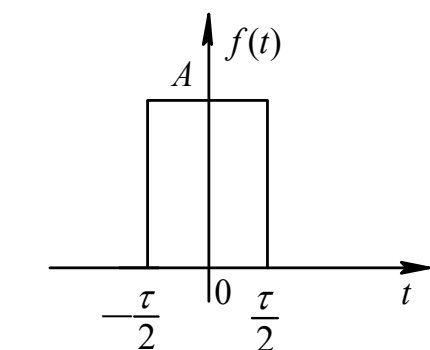
信号的脉宽与频宽成反比





傅立叶变换的性质

38





傅立叶变换的性质

39

例：已知 $f(t) \leftrightarrow F(j\omega) = E\tau \text{Sa}\left(\frac{\omega\tau}{2}\right)$ ，求 $f(2t-5)$ 的频谱密度函数

方法一：先尺度变换，再时延

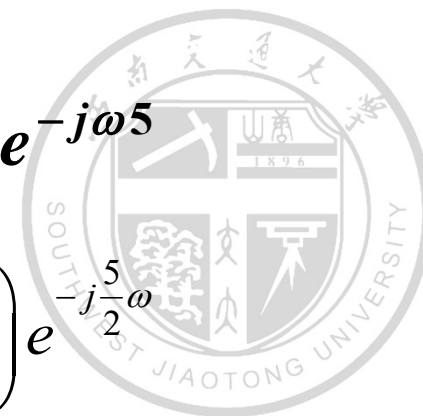
$$\because a = 2, \quad \therefore f(2t) \leftrightarrow \frac{1}{2} F\left(j\frac{\omega}{2}\right) = \frac{E\tau}{2} \text{Sa}\left(\frac{\omega\tau}{4}\right)$$

$$\because b = -5, \text{ 对 } t \text{ 时移 } \frac{5}{2} \text{ (向右)}: \therefore f(2t-5) \leftrightarrow \frac{E\tau}{2} \text{Sa}\left(\frac{\omega\tau}{4}\right) e^{-j\frac{5}{2}\omega}$$

方法二：先时延再尺度变换

$$\text{对 } t \text{ 时移 } 5 \text{ (向右)}: f(t-5) \leftrightarrow E\tau \text{Sa}\left(\frac{\omega\tau}{2}\right) e^{-j\omega 5}$$

$$\text{对所有的 } t \text{ 压缩 } 2: f(2t-5) \leftrightarrow \frac{E\tau}{2} \text{Sa}\left(\frac{\omega\tau}{4}\right) e^{-j\frac{5}{2}\omega}$$





傅立叶变换的性质

40

五. 对称性

时域与频域的对称性

若 $f(t) \leftrightarrow F(j\omega)$, 则 $F(jt) \leftrightarrow 2\pi f(-\omega)$

证明: 因为 $f(t) = \frac{1}{2\pi} \int_{-\infty}^{\infty} F(j\omega) e^{j\omega t} d\omega$

$$f(-x) = \frac{1}{2\pi} \int_{-\infty}^{\infty} F(j\omega) e^{-j\omega x} d\omega$$

将上式中 x 换成 ω , ω 换成 t , 得:

$$f(-\omega) = \frac{1}{2\pi} \int_{-\infty}^{\infty} F(jt) e^{-jt\omega} dt$$

$$\therefore 2\pi f(-\omega) = \int_{-\infty}^{\infty} F(jt) e^{-j\omega t} dt = F[F(jt)]$$

$$F(jt) \longleftrightarrow 2\pi f(-\omega)$$





傅立叶变换的性质

41

若 $f(t) \leftrightarrow F(j\omega)$, 则 $F(jt) \longleftrightarrow 2\pi f(-\omega)$

若 $f(t)$ 为偶函数, 即 $f(-t) = f(t)$, 则 $f(-\omega) = f(\omega)$

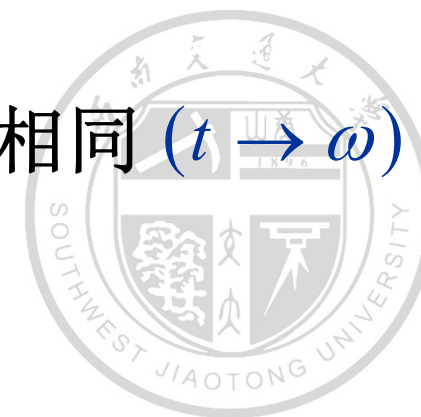
$$F(jt) \leftrightarrow 2\pi f(\omega)$$

意义:

若 $F(jt)$ 形状与 $F(j\omega)$ 相同 ($\omega \rightarrow t$),

则 $F(jt)$ 的频谱函数形状与 $f(t)$ 形状相同 ($t \rightarrow \omega$)

幅度差 2π 。





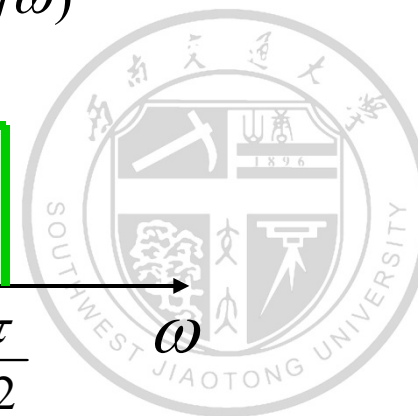
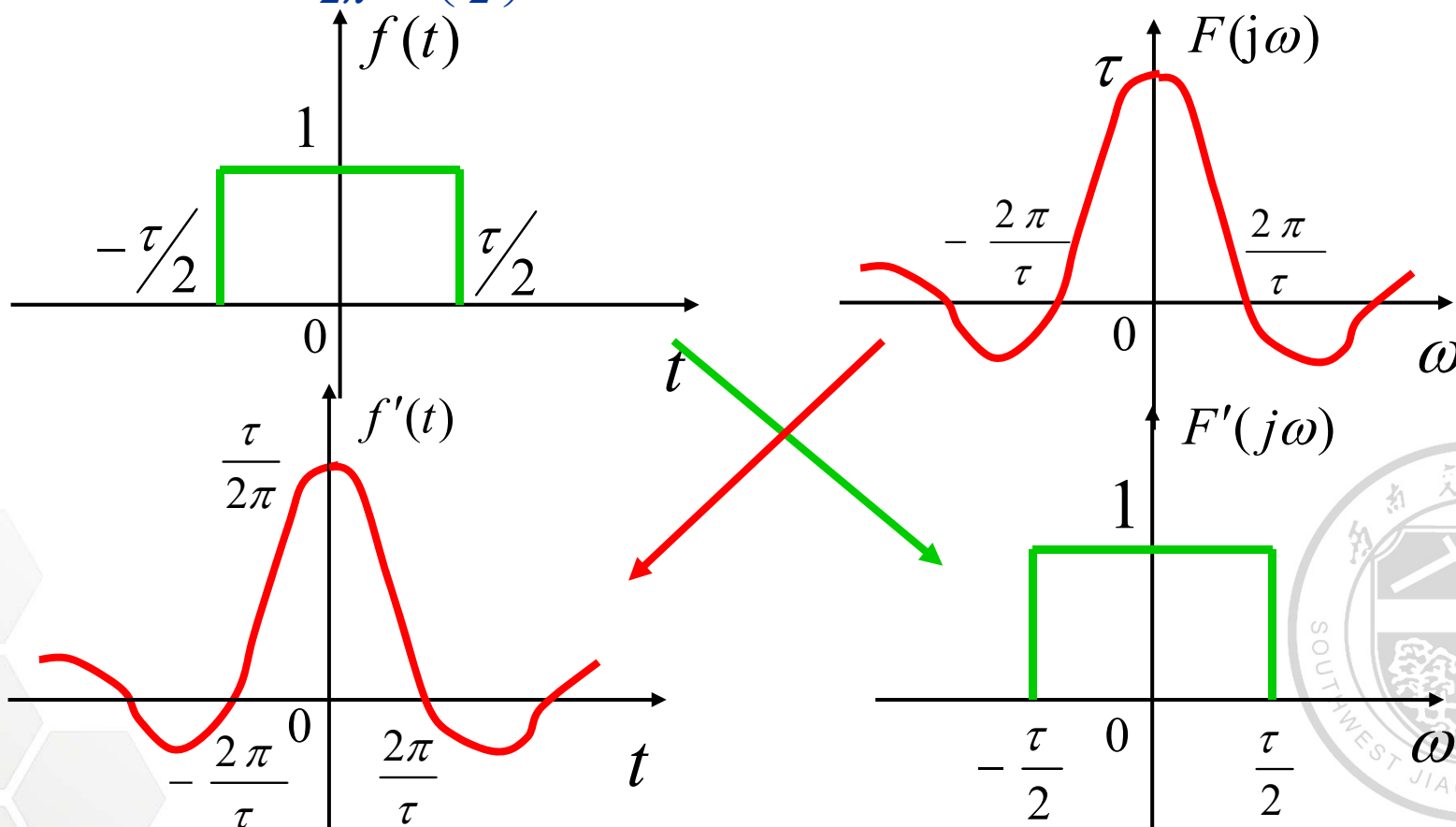
傅立叶变换的性质

42

例：由 $f(t) = g_\tau(t) \Leftrightarrow F(j\omega) = \tau \text{Sa}\left(\frac{\omega\tau}{2}\right)$ 求 $f'(t) = \tau \text{Sa}\left(\frac{\omega t}{2}\right)$

解： $F(jt) = \tau \text{Sa}\left(\frac{t\tau}{2}\right) \Leftrightarrow 2\pi f(-\omega) = 2\pi g_\tau(\omega)$

$$\therefore \frac{\tau}{2\pi} \text{Sa}\left(\frac{t\tau}{2}\right) \Leftrightarrow g_\tau(\omega)$$





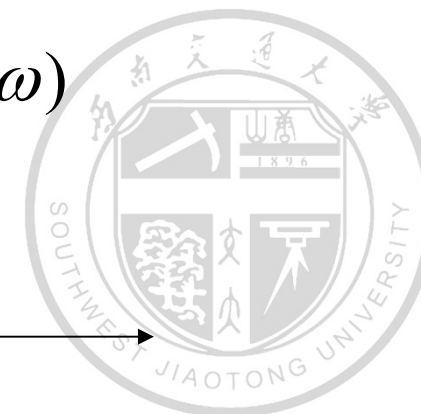
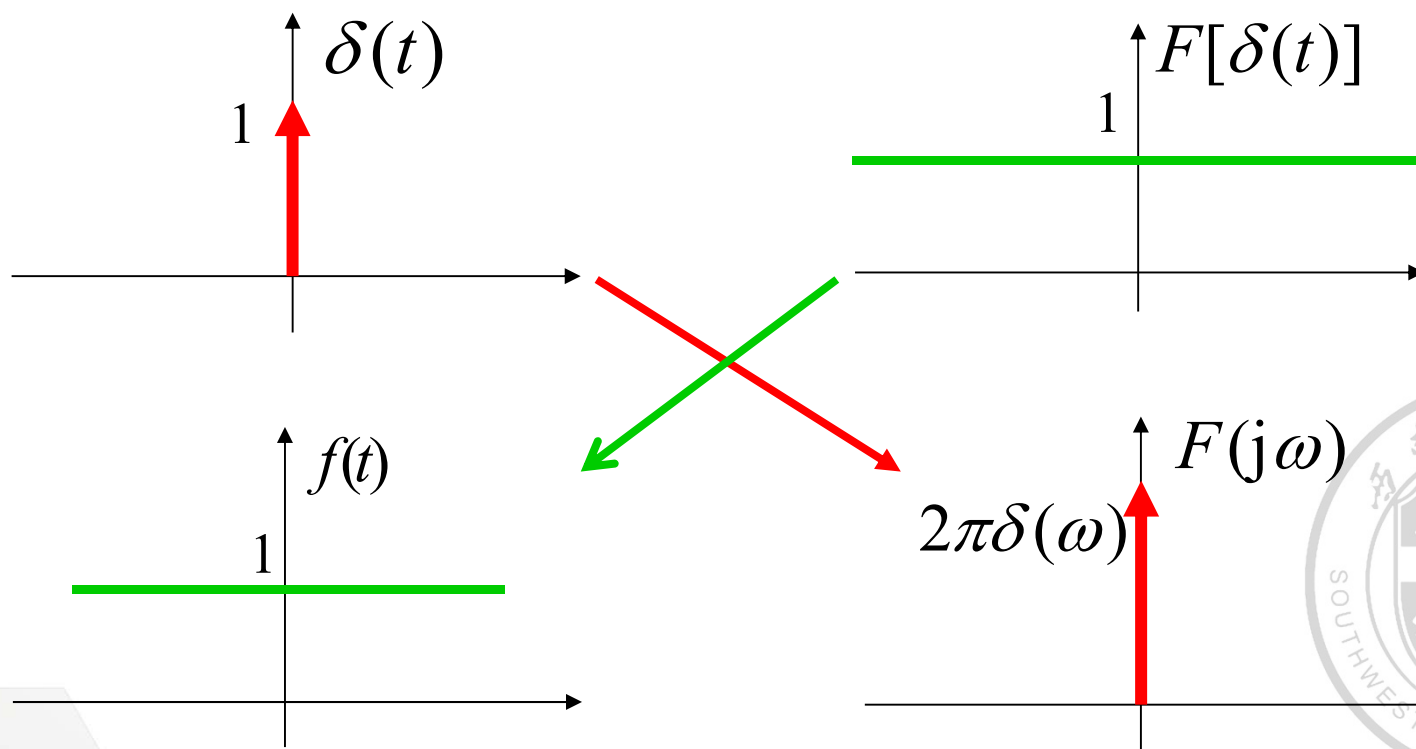
傅立叶变换的性质

43

若 $f(t)$ 为偶函数，则时域和频域完全对称

例： $f(t) = \delta(t) \quad \leftrightarrow \quad F(j\omega) = 1$

则 $F(jt) = 1 \quad \leftrightarrow \quad 2\pi f(\omega) = 2\pi\delta(\omega)$





傅立叶变换的性质

44

六. 时域微分性质

若 $f(t) \leftrightarrow F(j\omega)$, 则 $f'(t) \leftrightarrow j\omega F(j\omega)$

证明: 因为
$$f(t) = \frac{1}{2\pi} \int_{-\infty}^{\infty} F(j\omega) e^{j\omega t} d\omega$$
$$f'(t) = \frac{1}{2\pi} \int_{-\infty}^{\infty} F(j\omega) e^{j\omega t} \cdot j\omega d\omega$$
$$= \frac{1}{2\pi} \int_{-\infty}^{\infty} [j\omega F(j\omega)] e^{j\omega t} d\omega$$

$$\therefore f'(t) \leftrightarrow j\omega F(j\omega)$$

推论: 若对 $f(t)$ 求导 n 次 $\frac{d^n f(t)}{dt^n} \leftrightarrow (j\omega)^n F(j\omega)$





傅立叶变换的性质

45

七. 频域微分性质

$$\text{若 } f(t) \leftrightarrow F(j\omega), \text{ 则 } tf(t) \leftrightarrow j \frac{dF(j\omega)}{d\omega}$$

$$\text{或 } -jtf(t) \leftrightarrow \frac{dF(j\omega)}{d\omega} = F'(j\omega)$$

$$\text{证明: 因为 } F(j\omega) = \int_{-\infty}^{\infty} f(t) e^{-j\omega t} dt$$

$$\begin{aligned} F'(j\omega) &= \int_{-\infty}^{\infty} f(t) e^{-j\omega t} \cdot (-jt) dt \\ &= \int_{-\infty}^{\infty} (-jt) f(t) e^{-j\omega t} dt \end{aligned}$$

$$\therefore -jtf(t) \leftrightarrow F'(j\omega)$$

$$\text{推论: } (-jt)^n f(t) \leftrightarrow F^{(n)}(j\omega)$$





傅立叶变换的性质

46

例：求 $f(t)=te^{-at} u(t)$ 的频谱函数 $F(\omega)$ 。

解：利用

$$e^{-at}u(t) \leftrightarrow \frac{1}{a+j\omega}, \text{ 则}$$

$$\begin{aligned} te^{-at}u(t) &\leftrightarrow F(\omega) = j \frac{d}{d\omega} \left(\frac{1}{a+j\omega} \right) \\ &= j \frac{-j}{(a+j\omega)^2} = \frac{1}{(a+j\omega)^2} \end{aligned}$$





傅立叶变换的性质

47

八. 时域卷积定理

若 $f_1(t) \leftrightarrow F_1(j\omega)$, $f_2(t) \leftrightarrow F_2(j\omega)$, 则

$$f_1(t) * f_2(t) \leftrightarrow F_1(j\omega) \cdot F_2(j\omega)$$

时域的卷积对应于频域频谱密度函数的乘积

本性质是把时域分析与频域分析联系起来的重要桥梁

若已知输入 $f(t)$ 及系统的单位冲激响应 $h(t)$,
则由输入 $f(t)$ 引起的零状态响应为:

时域分析

$$y_f(t) = h(t) * f(t)$$

频域分析

$$F[y_f(t)] = H(j\omega) \cdot F(j\omega)$$





傅立叶变换的性质

48

例: (1) $f(t) = \delta(t) \leftrightarrow F(j\omega) = 1$

则 $f'(t) * \delta(t) \leftrightarrow F'(j\omega) \cdot 1 = F'(j\omega)$

$$\therefore f'(t) * \delta(t) = f'(t)$$

(2) $f(t) * \delta(t - t_0) \leftrightarrow F(j\omega) \cdot e^{-j\omega t_0}$ 时移特性

而 $F^{-1}[F(j\omega)e^{j\omega t_0}] = f(t - t_0)$ 时移特性

$$\therefore f(t) * \delta(t - t_0) = f(t - t_0)$$

(3) $f(t - t_1) * \delta(t - t_2) \leftrightarrow F(j\omega)e^{-j\omega t_1} \cdot e^{-j\omega t_2} = F(j\omega)e^{-j\omega(t_1+t_2)}$

而 $F^{-1}[F(j\omega)e^{-j\omega(t_1+t_2)}] = f(t - t_1 - t_2)$

$$\therefore f(t - t_1) * \delta(t - t_2) = f(t - t_1 - t_2)$$





傅立叶变换的性质

49

九. 频域卷积定理

若 $f_1(t) \leftrightarrow F_1(j\omega)$, $f_2(t) \leftrightarrow F_2(j\omega)$, 则

$$f_1(t) \cdot f_2(t) \leftrightarrow \frac{1}{2\pi} F_1(j\omega) * F_2(j\omega)$$

时间函数的乘积 \leftrightarrow 各频谱函数卷积的 $1/2\pi$ 倍。





傅立叶变换的性质

50

十. 时域积分

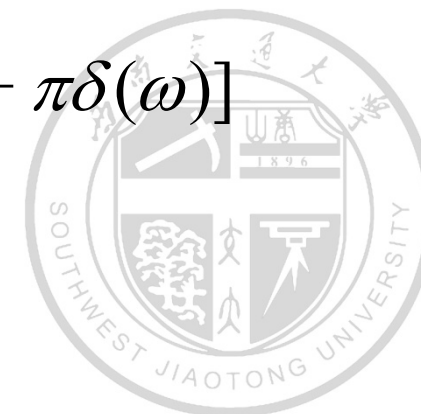
若 $f(t) \leftrightarrow F(j\omega)$, 则

$$\int_{-\infty}^t f(\tau) d\tau \leftrightarrow \frac{F(j\omega)}{j\omega} + \pi F(0)\delta(\omega)$$

证明:

$$\text{因为 } f(t) * u(t) = \int_{-\infty}^{\infty} f(\tau)u(t - \tau)d\tau = \int_{-\infty}^t f(\tau)d\tau$$

$$\begin{aligned} \therefore \int_{-\infty}^t f(\tau)d\tau &= f(t) * u(t) \leftrightarrow F(j\omega) \cdot \left[\frac{1}{j\omega} + \pi\delta(\omega)\right] \\ &= \frac{F(j\omega)}{j\omega} + \pi F(0)\delta(\omega) \end{aligned}$$





傅立叶变换的性质

51

例：利用时域积分性质求：

求单位阶跃函数的傅里叶变换

解：已知 $u(t) = \int_{-\infty}^t \delta(\tau) d\tau$

根据时域积分

$$\int_{-\infty}^t f(\tau) d\tau \leftrightarrow \frac{F(j\omega)}{j\omega} + \pi F(0)\delta(\omega)$$

$$\delta(t) \leftrightarrow 1$$

$$\text{则 } u(t) \leftrightarrow \frac{1}{j\omega} + \pi\delta(\omega) \cdot 1 = \frac{1}{j\omega} + \pi\delta(\omega)$$





傅立叶变换的性质

52

十一. 频域积分

若 $f(t) \leftrightarrow F(j\omega)$, 则

$$\frac{f(t)}{-jt} + \pi f(0)\delta(t) \leftrightarrow \int_{-\infty}^{\omega} F(j\Omega)d\Omega$$

十二. 帕塞瓦定理 (Parseval 定理)

$$\int_{-\infty}^{\infty} f^2(t) dt = \frac{1}{2\pi} \int_{-\infty}^{\infty} |F(j\omega)|^2 d\omega$$

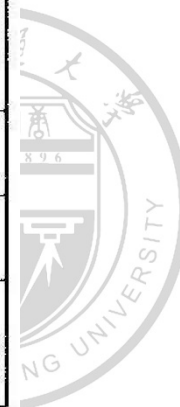




傅立叶变换的性质

53

序号	名称	时域	频域
1	线性	$af_1(t) + bf_2(t)$	$aF_1(j\omega) + bF_2(j\omega)$
2	延时	$f(t - t_0)$	$F(j\omega)e^{-j\omega t_0}$
3	尺度	$f(at)$	$\frac{1}{ a }F(\omega/a)$
4	频移性	$f(t)e^{j\omega_0 t}$	$F(j\omega - j\omega_0)$
5	时域微分	$\frac{df(t)}{dt}$ $\frac{d^n f(t)}{dt^n}$	$j\omega F(j\omega)$ $(j\omega)^n F(j\omega)$
6	时域积分	$\int_{-\infty}^{\infty} f(\tau) d\tau$	$\frac{F(j\omega)}{j\omega} + \pi F(0)\delta(\omega)$
7	频域微分	$tf(t)$ $t^n f(t)$	$j \frac{dF(\omega)}{d\omega}$ $j^n \frac{d^n F(\omega)}{d\omega^n}$
8	对称性	$F(t)$	$2\pi f(-\omega)$
9	时域卷积	$f_1(t) * f_2(t)$	$F_1(j\omega)F_2(j\omega)$
10	频域卷积	$f_1(t)f_2(t)$	$\frac{1}{2\pi}F_1(j\omega) * F_2(j\omega)$





系统响应的频域分析法





系统响应的频域分析法

55

系统的频响函数

设激励是 $f(t)$ ，系统的单位冲激响应为 $h(t)$ ，若系统的初始状态为零，则系统的响应为

$$y(t)=f(t)*h(t)$$

两边取傅里叶变换，由卷积定理可得

$$Y(j\omega)=F(j\omega)H(j\omega)$$

- ◆ $H(j\omega)$ 是系统单位冲激响应 $h(t)$ 的傅里叶变换。
- ◆ 系统单位冲激响应 $h(t)$ 表征的是系统时域特性，
- ◆ $H(j\omega)$ 表征的是系统频域特性。称做**系统频率响应函数**，简称**频响函数或系统函数**。





系统响应的频域分析法

56

在一般 n 阶系统情况下，数学模型为

$$\begin{aligned} & a_n \frac{d^n y(t)}{dt^n} + a_{n-1} \frac{d^{n-1} y(t)}{dt^{n-1}} + \cdots + a_1 \frac{dy(t)}{dt} + a_0 y(t) \\ &= b_m \frac{d^m f(t)}{dt^m} + b_{m-1} \frac{d^{m-1} f(t)}{dt^{m-1}} + \cdots + b_1 \frac{df(t)}{dt} + b_0 f(t) \end{aligned}$$

令初始条件为零，两端取傅立叶变换，得

$$\begin{aligned} \sum_{k=0}^n a_k (j\omega)^k Y(j\omega) &= \sum_{k=0}^m b_k (j\omega)^k F(j\omega) \\ \therefore H(j\omega) &= \frac{Y(j\omega)}{F(j\omega)} = \frac{\sum_{k=0}^m b_k (j\omega)^k}{\sum_{k=0}^n a_k (j\omega)^k} \end{aligned}$$

$H(j\omega)$ 只与系统本身有关，与激励无关。





系统响应的频域分析法

57

例：已知系统方程为： $\frac{dy}{dt} + y(t) = f(t)$ 求传递函数 $H(j\omega)$

解： 令系统初始条件为零，两端取傅立叶变换，得

$$j\omega Y(j\omega) + Y(j\omega) = F(j\omega)$$

$$(j\omega + 1)Y(j\omega) = F(j\omega)$$

$$\therefore H(j\omega) = \frac{Y(j\omega)}{F(j\omega)} = \frac{1}{j\omega + 1}$$





系统响应的频域分析法

58

例：求二阶系统的传递函数，数学模型为

$$\frac{d^2 y}{dt^2} + 3 \frac{dy}{dt} + 2y(t) = \frac{df}{dt} + f(t)$$

解： 令初始条件为零，上式两端取傅立叶变换，得

$$[(j\omega)^2 + 3j\omega + 2]Y(j\omega) = (j\omega + 1)F(j\omega)$$

$$\therefore H(j\omega) = \frac{Y(j\omega)}{F(j\omega)} = \frac{j\omega + 1}{(j\omega)^2 + 3j\omega + 2}$$

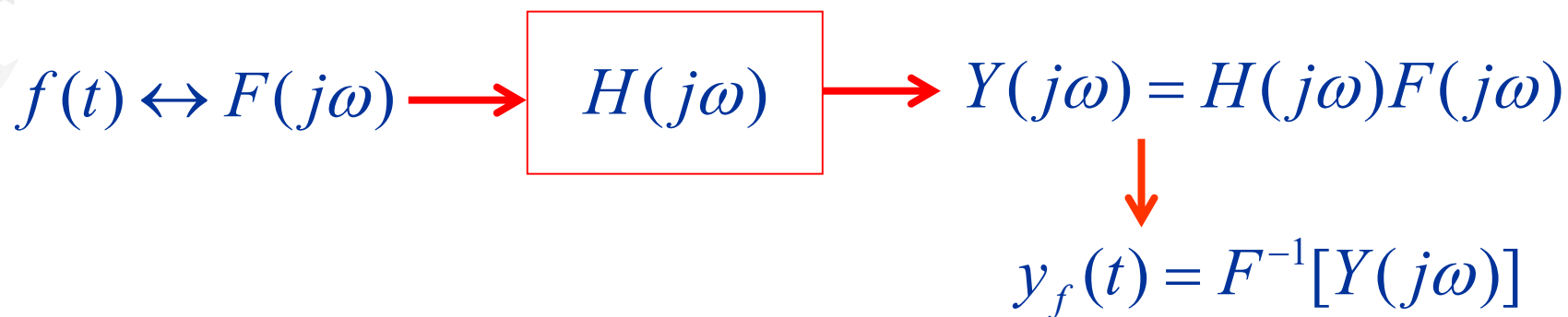




系统响应的频域分析法

59

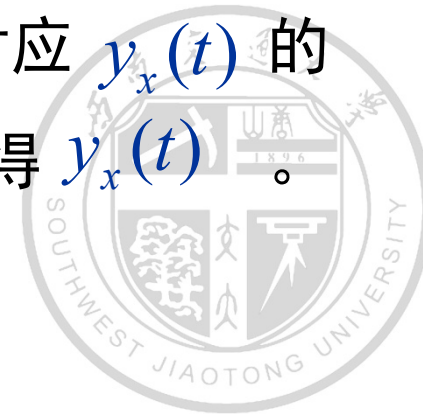
系统频域分析过程如下：



注意：

上述求得的系统响应是零状态响应，零输入响应要按时域方法求出。由 $H(p)$ 或 $H(j\omega)$ 求得极点，对应 $y_x(t)$ 的基本形式，再代入初始条件确定积分常数，求得 $y_x(t)$ 。

一般 $H(j\omega) = H(p)|_{p=j\omega}$





系统响应的频域分析法

60

例：已知输入 $f(t) = e^{-2t}u(t)$ ，系统传递函数为

$$H(j\omega) = \frac{j\omega}{(j\omega)^2 + 4j\omega + 3}, \text{ 初始条件为零, 求系统响应。}$$

解：因初始条件为零，系统只有零状态响应

$$F(j\omega) = F[f(t)] = \frac{1}{j\omega + 2} \quad H(j\omega) = \frac{j\omega}{(j\omega + 3)(j\omega + 1)}$$

$$Y(j\omega) = H(j\omega)F(j\omega) = \frac{j\omega}{(j\omega + 3)(j\omega + 1)(j\omega + 2)}$$

$$= \frac{-\frac{3}{2}}{j\omega + 3} + \frac{2}{j\omega + 2} + \frac{-\frac{1}{2}}{j\omega + 1}$$

$$\therefore y_f(t) = F^{-1}[Y(j\omega)] = \left(-\frac{3}{2}e^{-3t} + 2e^{-2t} - \frac{1}{2}e^{-t}\right)u(t)$$





系统响应的频域分析法

61

四、系统分析频域方法的限制条件

1. 输入 $f(t)$ 的傅立叶变换必须存在

2. 系统频域传递函数 $H(j\omega)$ 必须存在

$$H(j\omega) = F[h(t)]$$





无失真传输





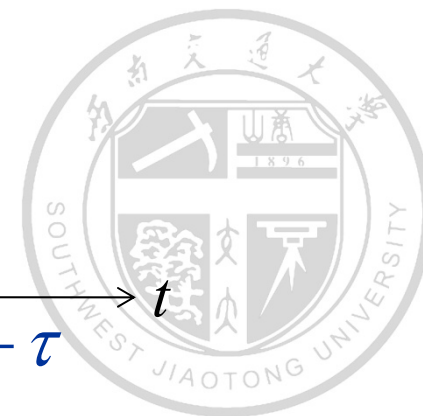
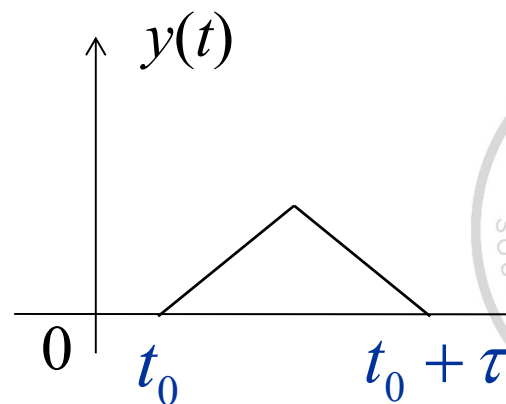
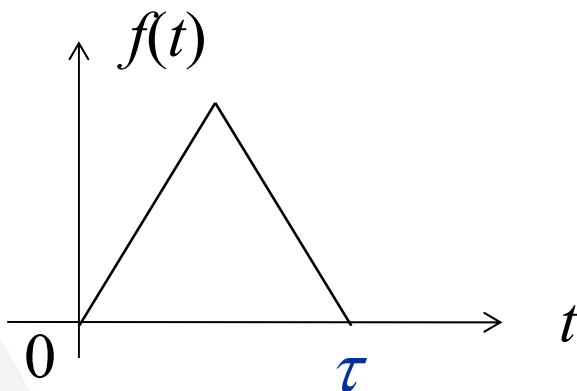
无失真传输

63

一. 失真的概念

信号经系统传输，要受到系统函数 $H(j\omega)$ 的加权，输出波形发生了变化，与输入波形不同，则产生失真。

反之，若系统输出响应的波形与输入激励信号的波形完全相同，而只有幅度大小的不同和出现时间的延迟不同，则称不失真。





失真的分类：1) 线性失真

- ◆ **振幅失真：** 系统对信号中各频率分量的幅度产生不同程度的衰减（放大），使各频率分量之间的相对振幅关系发生了变化。
- ◆ **相位失真：** 系统对信号中各频率分量产生的相移与频率不成正比，使各频率分量在时间轴上的相对位置发生了变化。这两种失真都不会使信号产生新的频率分量。





失真的分类：2) 非线性失真

是由信号通过非线性系统产生的，特点是信号通过系统后产生了新的频率分量。

- ◆对传输系统一般要求不失真
- ◆但在对信号处理时失真往往是必要的。
- ◆在通信、电子技术中失真的应用也十分广泛，如各类调制技术就是利用非线性系统，产生所需要的频率分量；
- ◆滤波是提取所需要的频率分量，衰减其余部分。



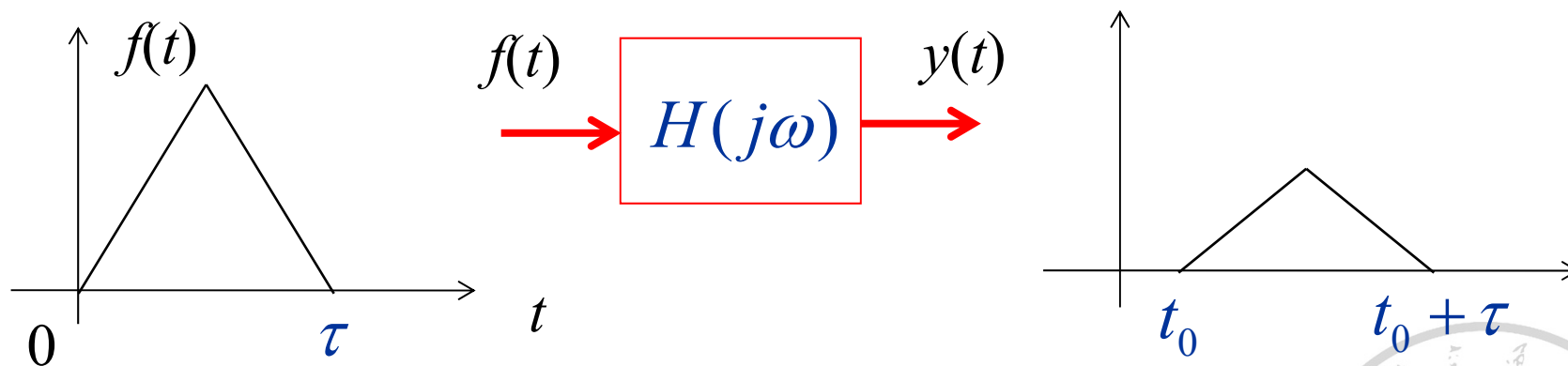


无失真传输

66

二、无失真传输条件

从时域来讲，系统输出的波形与输入激励信号的波形完全相同，而只有幅度大小可以不同，出现时间的延迟不同。



即要求信号 $f(t)$ 无失真传输，在时域上 $y(t)$ 与 $f(t)$ 之间应满足

$$y(t) = kf(t - t_0)$$





无失真传输

67

即要求信号 $f(t)$ 无失真传输，在时域上 $y(t)$ 与 $f(t)$ 之间应满足

$$y(t) = kf(t - t_0)$$

- ◆ 幅度乘以 k 倍
- ◆ 波形滞后 t_0

式中 k 和 t_0 均为常数，与 t 无关

k 为幅度增量， t_0 为延迟时间

即输出是输入的 k 倍，时间上延迟了 t_0 时间

上式为系统无失真传输在时域中的条件





无失真传输

68

$$y(t) = kf(t - t_0)$$

从频域分析，对上式两边取傅立叶变换

$$Y(j\omega) = kF(j\omega)e^{-j\omega t_0}$$

由于

$$Y(j\omega) = H(j\omega)F(j\omega)$$

∴ 无失真传输的系统函数为：

$$H(j\omega) = ke^{-j\omega t_0}$$

上式为系统无失真传输在频域中的条件

即

$$|H(j\omega)| = k$$

$$\theta(\omega) = -\omega t_0$$





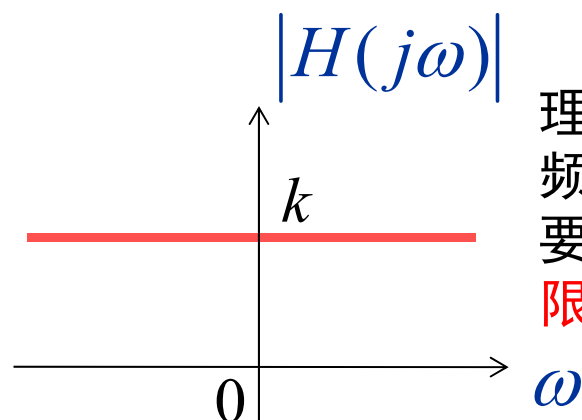
无失真传输

69

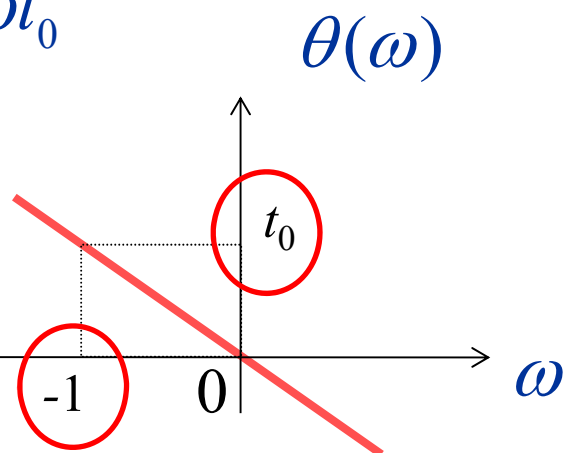
$$H(j\omega) = ke^{-j\omega t_0}$$

$$|H(j\omega)| = k$$

$$\theta(\omega) = -\omega t_0$$



理想传输系统的
频域不失真条件
要求系统具有**无限宽的均匀带宽**



因此无失真传输系统在频域应满足两个条件：

- (1) 对所有频率 ω ，系统传递函数的幅频特性应为常数 k ，即系统的通频带为无穷大；
- (2) 对所有频率 ω ，系统传递函数的相频特性应为过原点的直线。





无失真传输

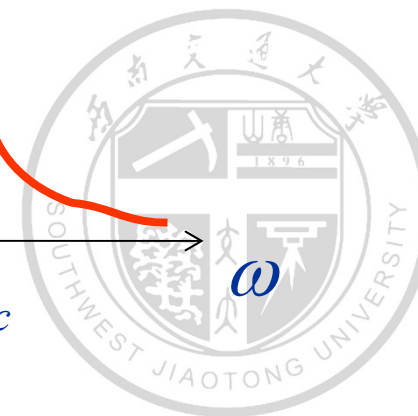
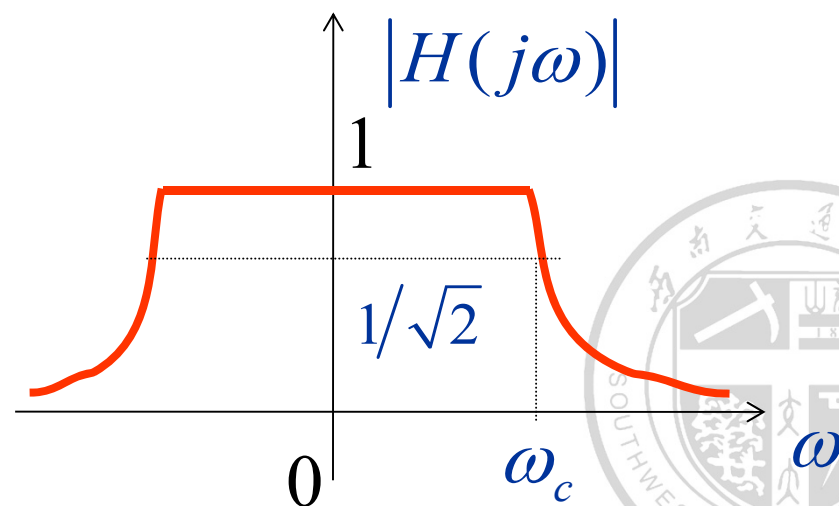
70

对 $H(j\omega) = ke^{-j\omega t_0}$ 两边取傅立叶反变换,
得系统的冲激响应

$$h(t) = k\delta(t - t_0) \quad \text{-- 无失真传输时域条件}$$

实际中的幅频特性

ω_c -- 截止频率





无失真传输

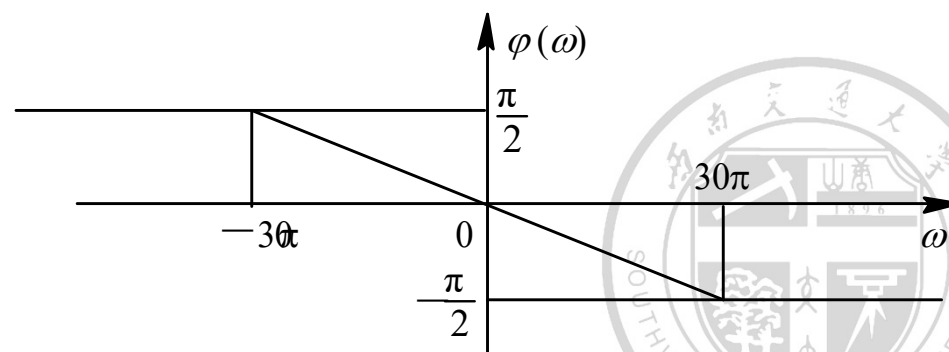
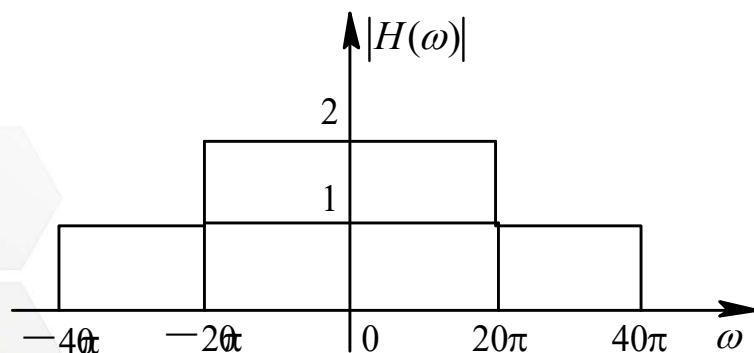
71

例：已知某系统的振幅、 相位特性如图所示，
输入为 $x(t)$ ， 输出为 $y(t)$ 。 求：

(1) 给定输入 $x_1(t)=2\cos 10\pi t+\sin 12\pi t$ 及

$x_2(t)=2\cos 10\pi t+\sin 26\pi t$ 时的输出 $y_1(t)$ 、 $y_2(t)$ ；

(2) $y_1(t)$ 、 $y_2(t)$ 有无失真？ 若有指出为何种失真。



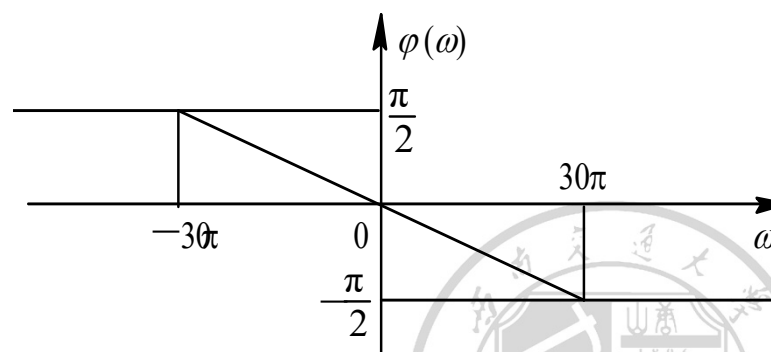
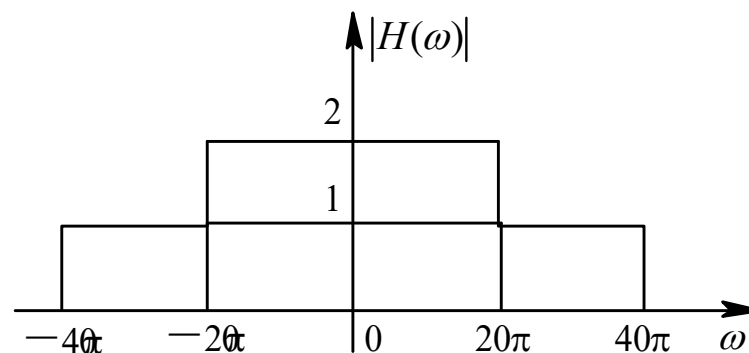


无失真传输

72

解：由图3.6-4可知该系统的振幅、 相位函数为

$$|H(\omega)| = \begin{cases} 2 & |\omega| < 20\pi \\ 1 & 20\pi < |\omega| < 40\pi \\ 0 & \text{其它} \end{cases}$$
$$\varphi(\omega) = \begin{cases} -\frac{\pi}{2} & \omega > 20\pi \\ -\frac{\omega}{60} & |\omega| < 30\pi \\ \frac{\pi}{2} & \omega < -30\pi \end{cases}$$



由无失真传输条件， 可得输入信号在 $0 \leq \omega \leq 20\pi$ 或 $20 \leq \omega \leq 30\pi$ 范围内， 输出信号无失真。



无失真传输

73

利用频域分析方法可得激励为 $x_1(t)$ 、 $x_2(t)$ 时的响应为

$$\begin{aligned} y_1(t) &= 2[2 \cos 10\pi(t - t_0) + \sin 12\pi(t - t_0)] \\ &= 2\left[2 \cos\left(10\pi t - \frac{10\pi}{60}\right) + \sin\left(12\pi t - \frac{12\pi}{60}\right)\right] \\ &= 4 \cos\left(10\pi t - \frac{\pi}{6}\right) + 2 \sin\left(12\pi t - \frac{\pi}{5}\right) \end{aligned}$$

输入信号在 $0 \leq \omega \leq 20\pi$ 范围内，输出信号无失真。





无失真传输

74

$$y_2(t) = 4 \cos\left(10\pi t - \frac{\pi}{6}\right) + \sin\left(26\pi t - \frac{\pi}{2}\right) \neq kx(t - t_0)$$

输入信号在 $0 \leq \omega \leq 30\pi$ 范围内，输出有振幅失真。

在实际应用时，虽然系统不满足全频域无失真传输要求，但在一定的条件及范围内可以近似无失真传输或线性。这表明系统可以具有分段无失真或线性，这种方法在工程中经常用到。





理想低通滤波器





理想低通滤波器

76

理想低通滤波器：

让低于某频率的信号无失真通过，让高于某频率的信号截止的系统。

应用：

从电视机天线上所有的信号中， 选出所需要频道信号

- ◆ 经典滤波的概念往往与选频有关
- ◆ 现代滤波的概念更加广泛， 凡是信号频谱经过系统后发生了改变， 都认为是滤波。





理想低通滤波器

77

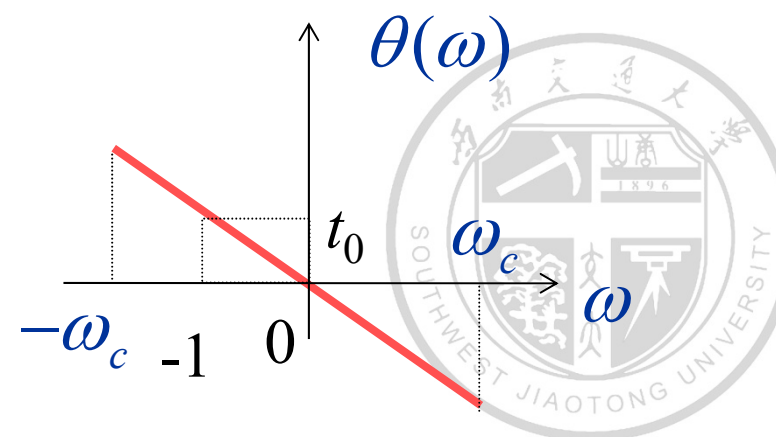
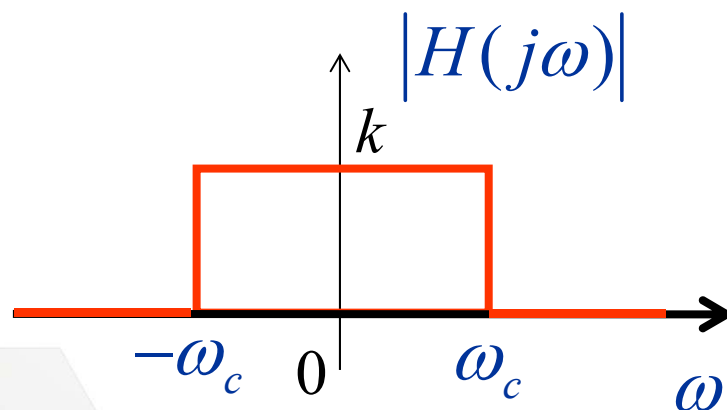
一. 理想低通的频率特性

系统函数为：

$$H(j\omega) = \begin{cases} ke^{-j\omega t_0} & |\omega| \leq \omega_c \quad \text{通带} \\ 0 & |\omega| > \omega_c \quad \text{阻带} \end{cases}$$

ω_c -截止频率

t_0 -延迟时间





理想低通滤波器

78

二. 理想低通的冲激响应

$$H(j\omega) = \begin{cases} ke^{-j\omega t_0} & |\omega| \leq \omega_c \\ 0 & |\omega| > \omega_c \end{cases}$$

单位冲激响应为：

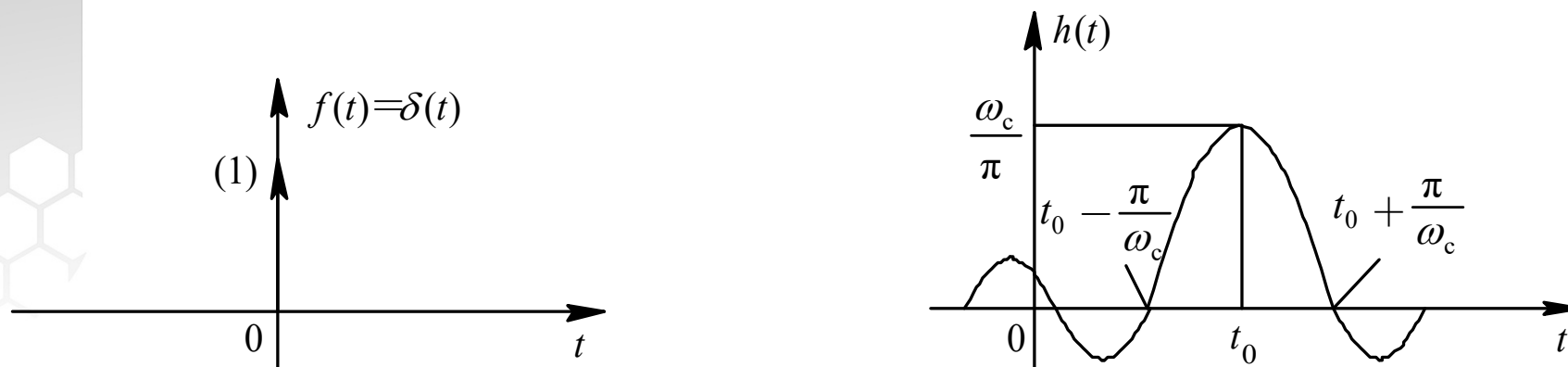
$$\begin{aligned} h(t) &= F^{-1}[H(j\omega)] = \frac{1}{2\pi} \int_{-\infty}^{\infty} H(j\omega) e^{j\omega t} d\omega \\ &= \frac{1}{2\pi} \int_{-\omega_c}^{\omega_c} ke^{-j\omega t_0} \cdot e^{j\omega t} d\omega = \frac{1}{2\pi} \int_{-\omega_c}^{\omega_c} ke^{j\omega(t-t_0)} d\omega \\ &= \frac{k}{2\pi} \frac{1}{j(t-t_0)} e^{j\omega(t-t_0)} \Big|_{-\omega_c}^{\omega_c} \\ &= \frac{\omega_c k}{\pi} S_a[\omega_c(t-t_0)] \end{aligned}$$





理想低通滤波器

79



- ◆ 对在 $t=0$ 时刻加入的激励，其响应的最大值出现在 t_0 处，说明响应建立需要时间。
- ◆ 在响应脉冲建立的前后出现了起伏振荡，因为相当一部分的高频分量被完全抑制了，产生严重失真。
- ◆ $t < 0$ 时有响应出现表明系统是非因果的，而违背了因果律的系统是物理不可实现的。

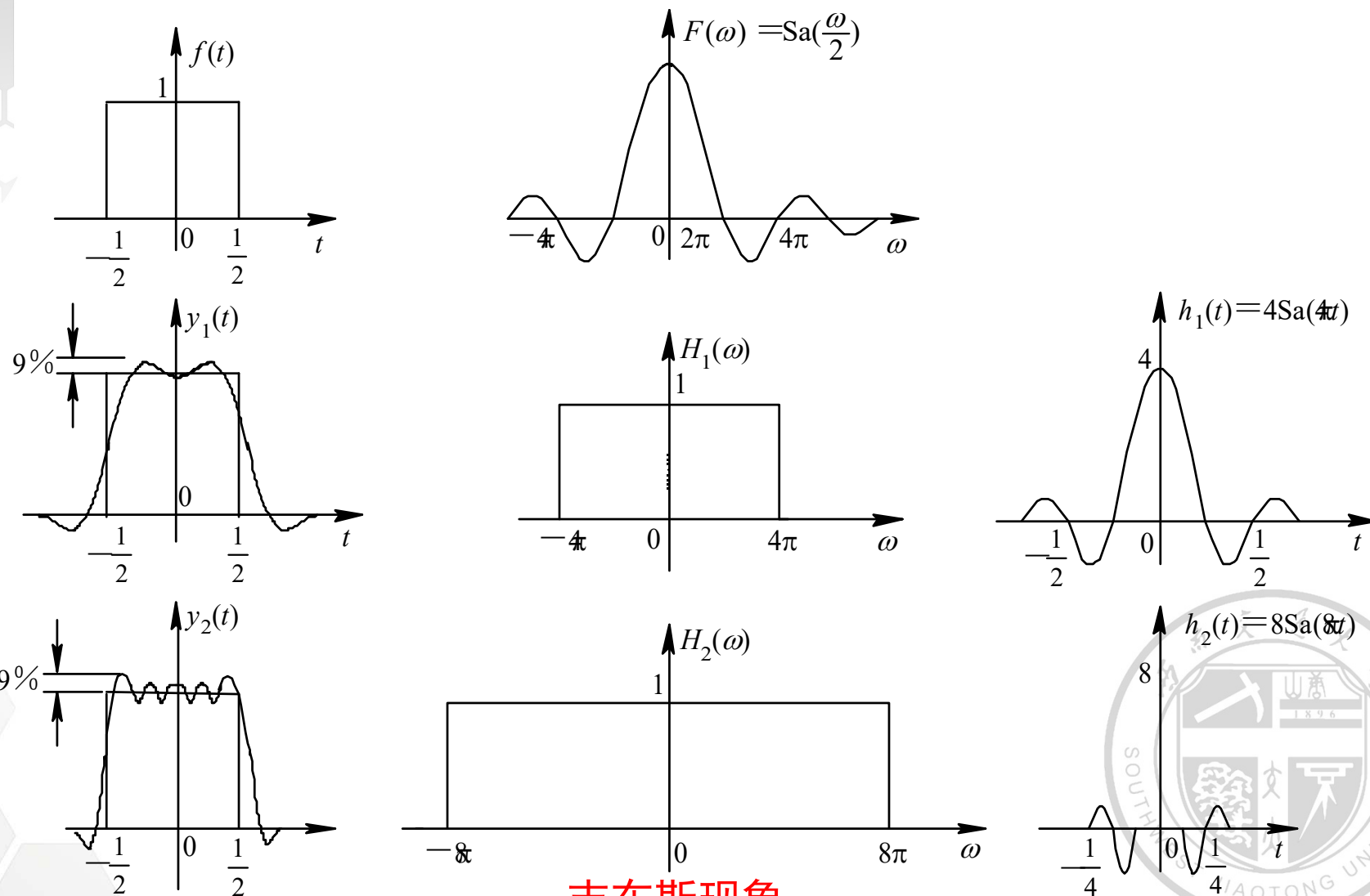




理想低通滤波器

80

不同带宽的理想低通对矩形脉冲的响应



吉布斯现象



理想低通滤波器

81

三. 系统物理可实现性和佩利-维纳准则

理想低通滤波器是物理不可实现的系统

系统物理可实现的准则

时域准则 $t < 0$ 时, $h(t) = 0$

频域准则

系统物理可实现的必要条件

$$\int_{-\infty}^{\infty} \frac{|\ln |H(j\omega)|}{1 + \omega^2} d\omega < \infty$$

佩利-维纳准则





抽样定理



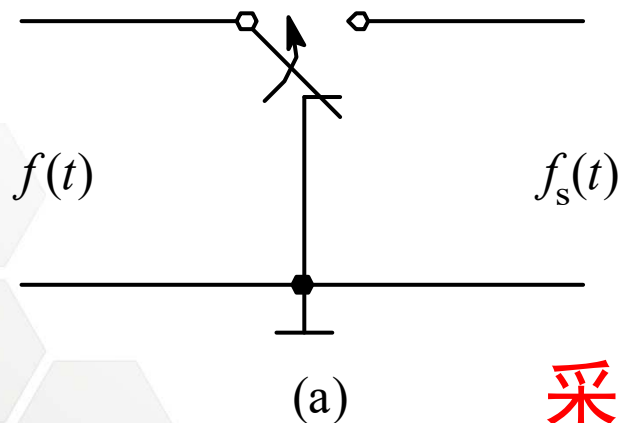
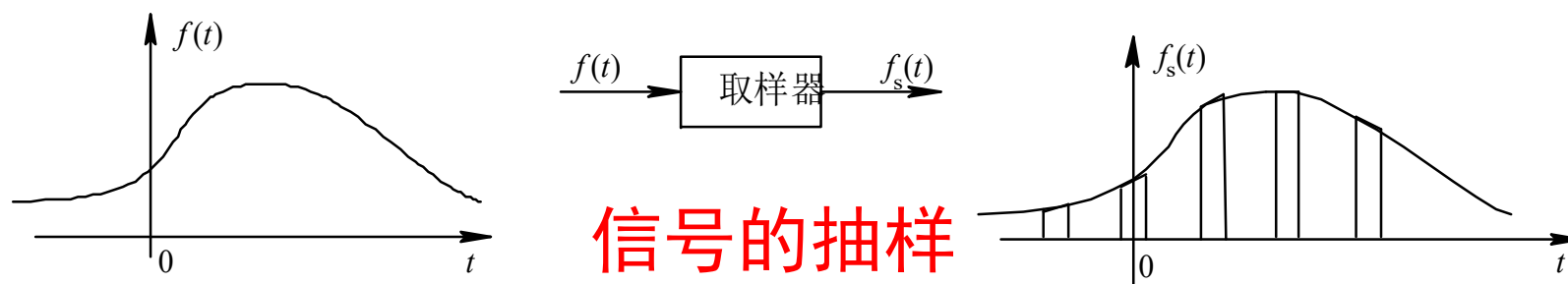


抽样定理

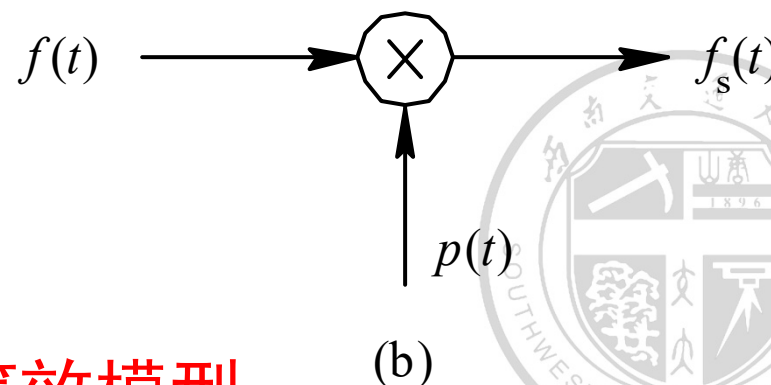
83

一. 抽样

抽样是从连续信号到离散信号的桥梁，也是对信号进行数字处理的第一个环节。



采样器与等效模型

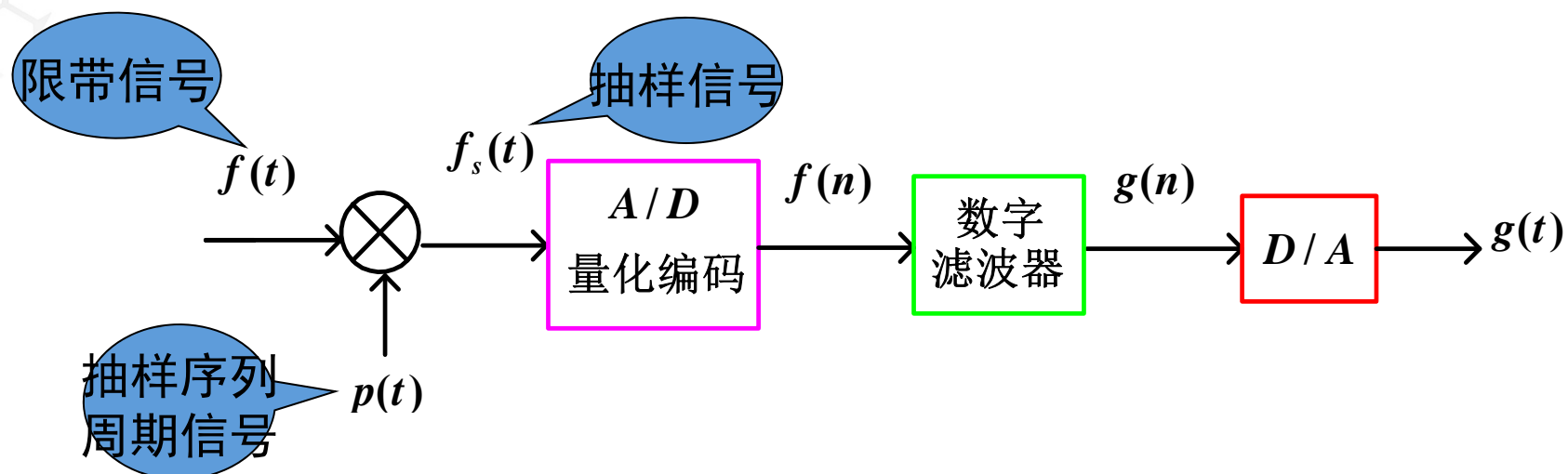




抽样定理

84

信号处理流程图：



需要解决的问题： $\begin{cases} f_s(t) \leftrightarrow F_s(j\omega) \text{ 与 } F(j\omega) \text{ 的关系} \\ \text{由 } f_s(t) \text{ 能否恢复 } f(t) \end{cases}$





抽样定理

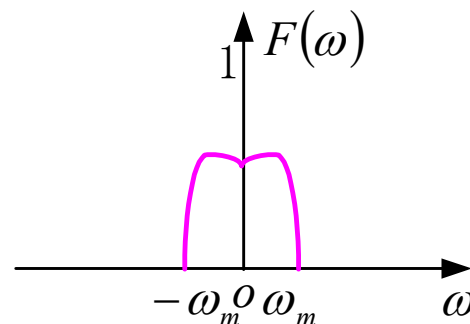
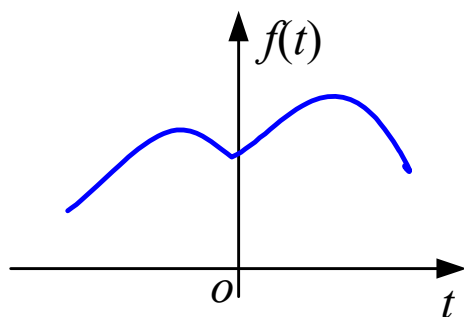
85

1、限带信号

指连续时间信号 $f(t)$ 的频谱宽度有限，即
频谱函数 $F(j\omega)$ 满足

$$F(j\omega) = 0 \quad \text{当 } |\omega| > \omega_m \text{ 时}$$

式中 ω_m 称为信号 $f(t)$ 的最高频率





抽样定理

86

2、抽样信号

是指利用抽样序列 $p(t)$ 从连续信号 $f(t)$ 中抽取一系列离散样值而得的离散信号，或称取样信号。
用 $f_s(t)$ 表示。

$$f_s(t) = f(t)p(t)$$

式中**抽样序列** $p(t)$ 也称开关函数

若采用均匀抽样，抽样周期为 T_s

$$\text{抽样频率为 } \omega_s = 2\pi f_s = \frac{2\pi}{T_s}$$





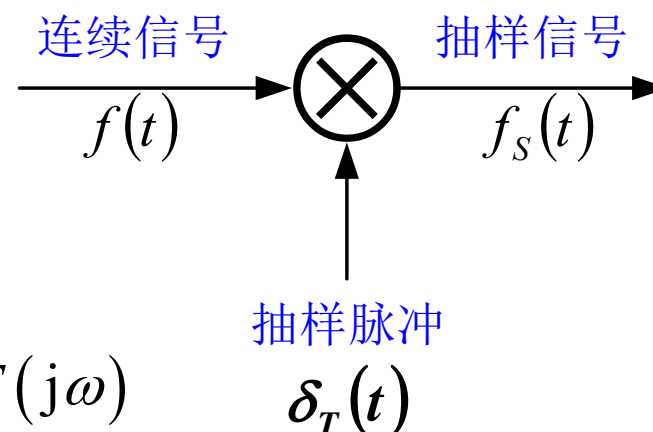
抽样定理

87

二. 理想抽样

抽样序列是周期单位冲激序列

1. 抽样信号



限带
信号

连续信号: $f(t) \leftrightarrow F(j\omega)$
 $(-\omega_m < \omega < \omega_m)$

抽样脉冲序列: $p(t) \leftrightarrow P(j\omega)$,

抽样信号: $f_s(t) \leftrightarrow F_s(j\omega)$ $f_s(t) = f(t)p(t)$





抽样定理

88

频谱结构的数学表示

抽样脉冲序列: $p(t) = \delta_{T_s}(t) = \sum_{n=-\infty}^{+\infty} \delta(t - nT_s)$

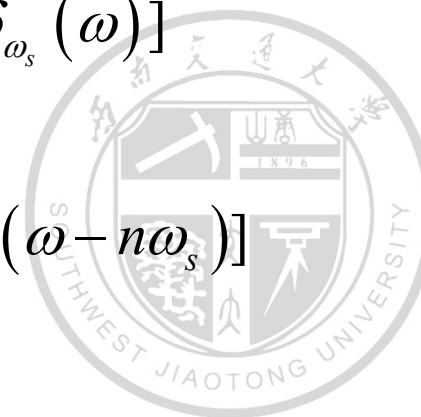
$$\longleftrightarrow \omega_s \sum_{n=-\infty}^{\infty} \delta(\omega - n\omega_s) = \omega_s \delta_{\omega_s}(\omega)$$

$$f_s(t) = f(t)\delta_T(t) = \sum_{n=-\infty}^{\infty} f(nT_s)\delta(t - nT_s)$$

频域卷积

$$\longleftrightarrow F_s(j\omega) = F[f(t)\delta_T(t)] = \frac{1}{2\pi} F(j\omega) * [\omega_s \delta_{\omega_s}(\omega)]$$

$$= \frac{1}{2\pi} F(j\omega) * [\omega_s \sum_{n=-\infty}^{\infty} \delta(\omega - n\omega_s)] = \frac{1}{T_s} \sum_{n=-\infty}^{\infty} F[j(\omega - n\omega_s)]$$

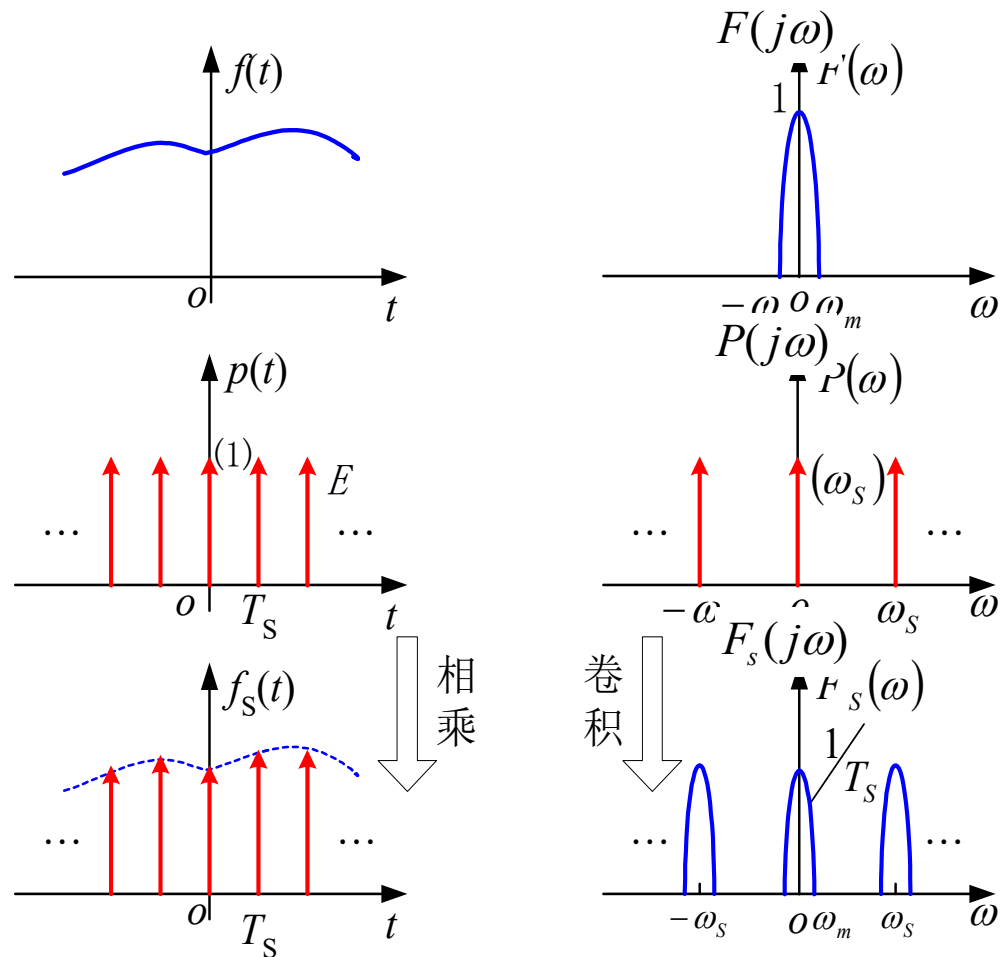




抽样定理

89

$$f_s(t) = \sum_{n=-\infty}^{\infty} f(nT_s)\delta(t - nT_s) \quad F_s(j\omega) = \frac{1}{T_s} \sum_{n=-\infty}^{\infty} F[j(\omega - n\omega_s)]$$



抽样信号的频谱是原信号频谱的周期重复



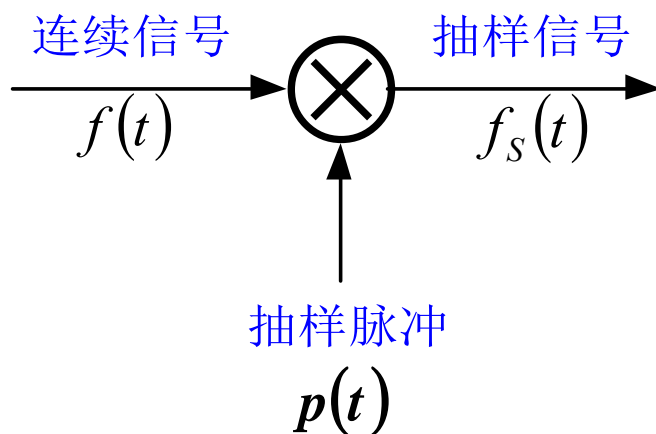


抽样定理

90

三. 矩形脉冲抽样

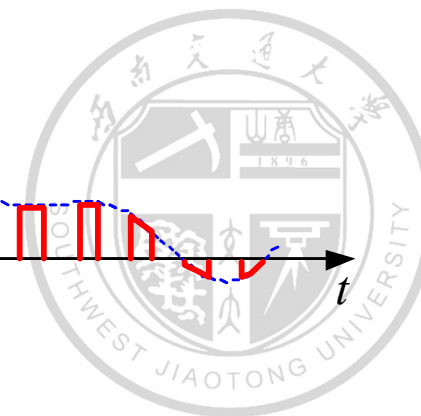
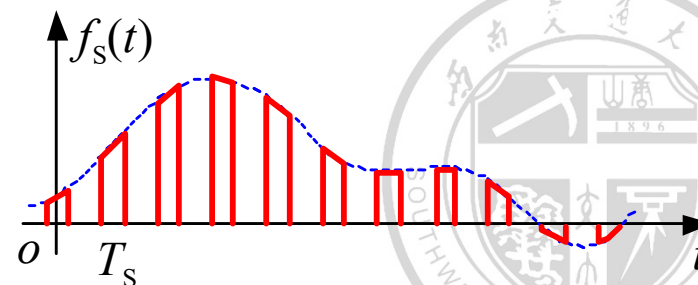
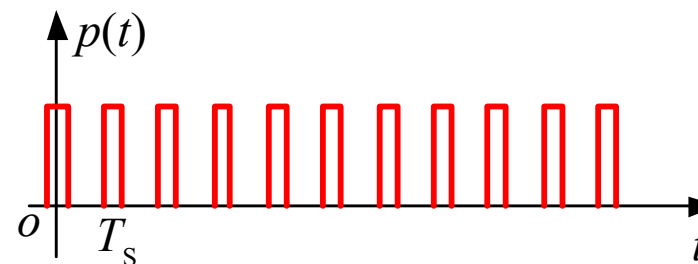
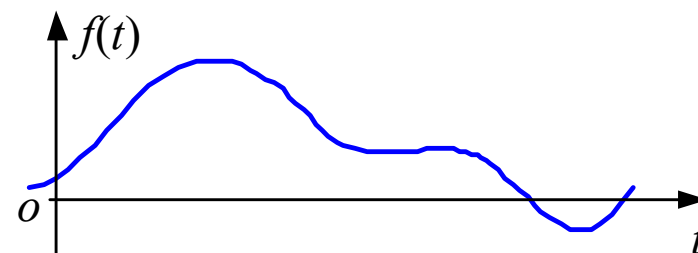
1. 抽样信号



连续信号: $f(t)$

抽样脉冲序列: $p(t)$

抽样信号: $f_s(t) = f(t) \cdot p(t)$





抽样定理

91

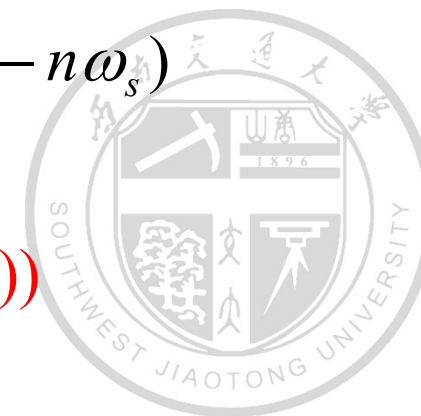
矩形脉冲抽样信号频谱结构的数学表示

$$f_s(t) \leftrightarrow F_s(j\omega) = F[f(t) \cdot p(t)] = \frac{1}{2\pi} F(j\omega) * P(j\omega)$$

$p(t)$ 的傅里叶系数 $P_n = \frac{\tau}{T_s} Sa(\frac{n\omega_s \tau}{2})$

$$\therefore P(j\omega) = 2\pi \sum_{n=-\infty}^{\infty} \frac{\tau}{T_s} Sa(\frac{n\omega_s \tau}{2}) \delta(\omega - n\omega_s)$$

$$\begin{aligned} \therefore F_s(j\omega) &= \frac{\tau}{T_s} \sum_{n=-\infty}^{\infty} Sa(\frac{n\omega_s \tau}{2}) F(j\omega) * \delta(\omega - n\omega_s) \\ &= \frac{\tau}{T_s} \sum_{n=-\infty}^{\infty} Sa(\frac{n\omega_s \tau}{2}) F(j(\omega - n\omega_s)) \end{aligned}$$

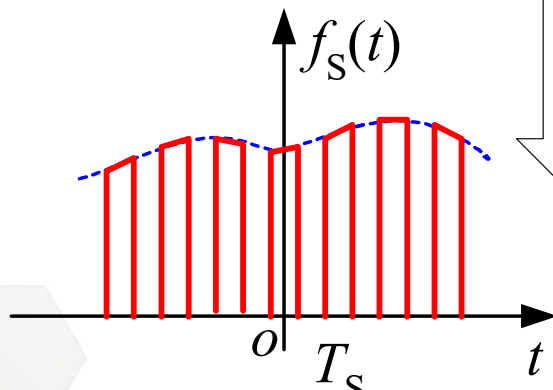
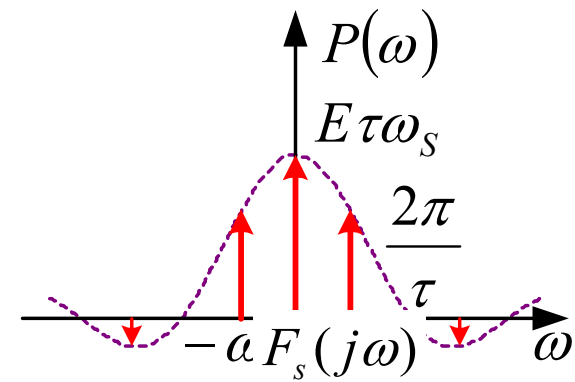
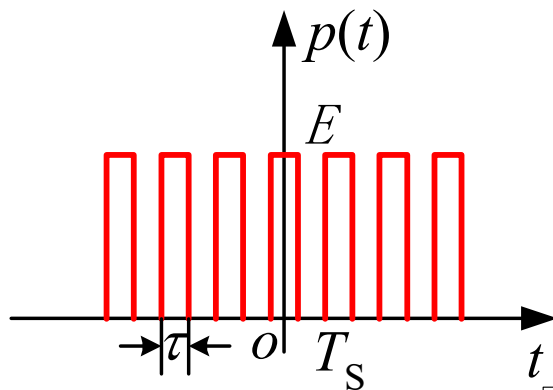
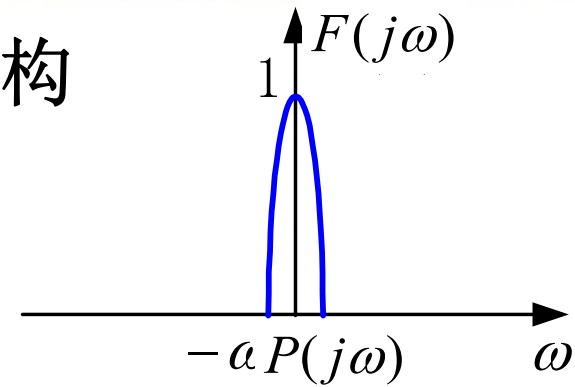
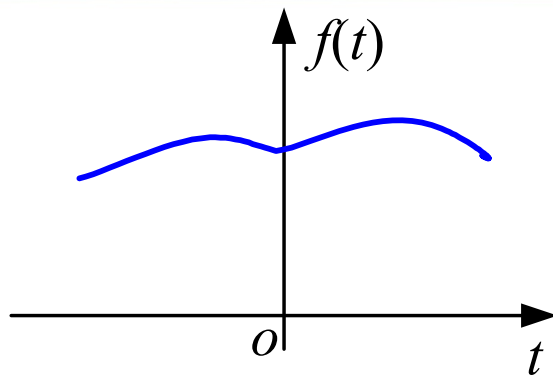




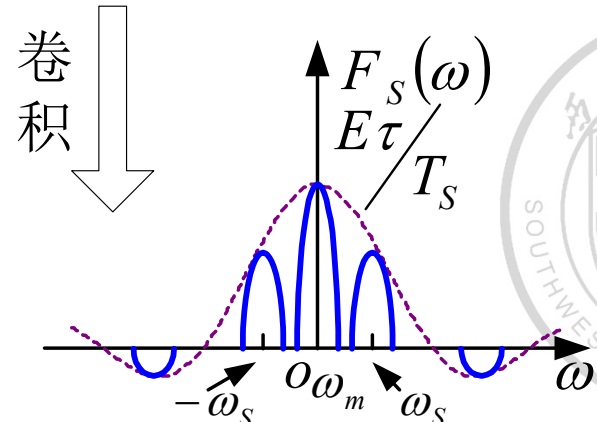
抽样定理

92

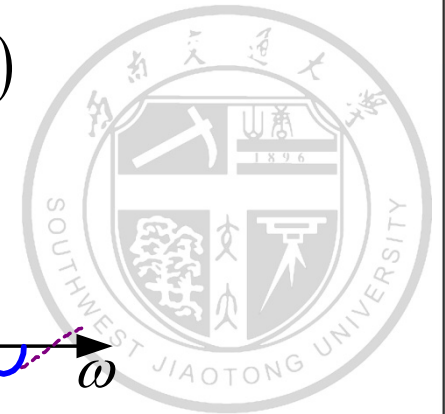
频谱结构



相乘



卷积





3. 讨论 τ 的影响

$$\because \omega_s = \frac{2\pi}{T_s}, \quad T_s \text{ 不变}, \quad \omega_s \text{ 不变}$$

$$\text{脉冲宽度 } \tau \downarrow, \text{ 第一个零点 } \frac{2\pi}{\tau} = \frac{2\pi}{T_s} \frac{T_s}{\tau} = \omega_s \frac{T_s}{\tau}$$

$\tau \downarrow$, 离原点越远.

理想抽样 $\tau \rightarrow 0$, 矩形脉冲 $\rightarrow \delta(t)$





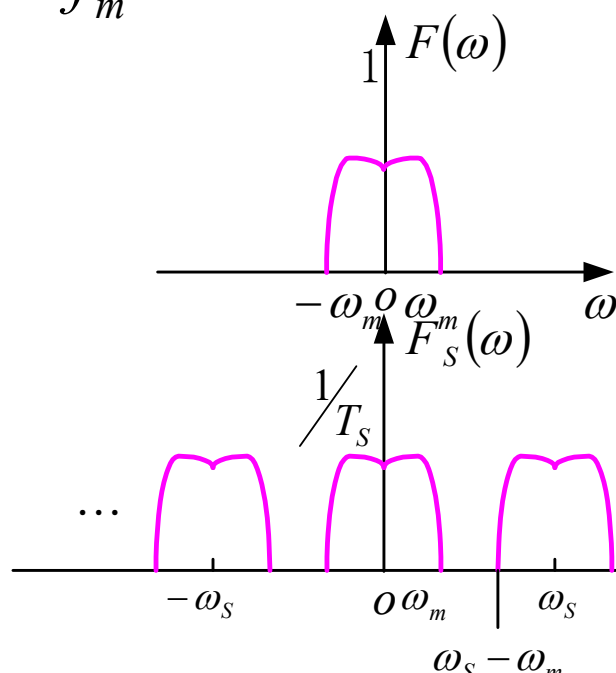
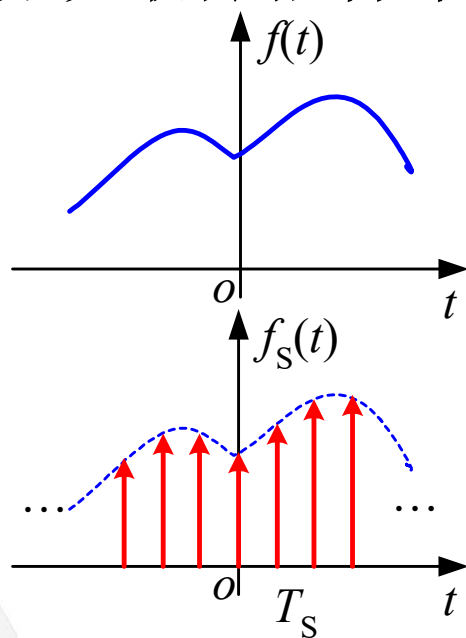
抽样定理

94

一个频带受限的信号 $f(t)$ ，若频谱只占据 $-\omega_m \sim +\omega_m$ 的范围，则信号 $f(t)$ 可用等间隔的抽样值来唯一地表示。

其抽样间隔必须不大于 $\frac{1}{2f_m}$ ，即 $T_s \leq \frac{1}{2f_m}$ ($\omega_m = 2\pi f_m$)，

或者说最低抽样率为 $2f_m$ 。



$$\omega_s - \omega_m \geq \omega_m$$

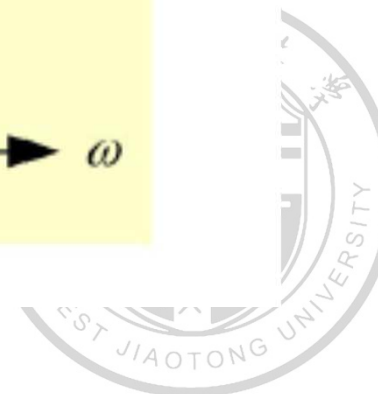
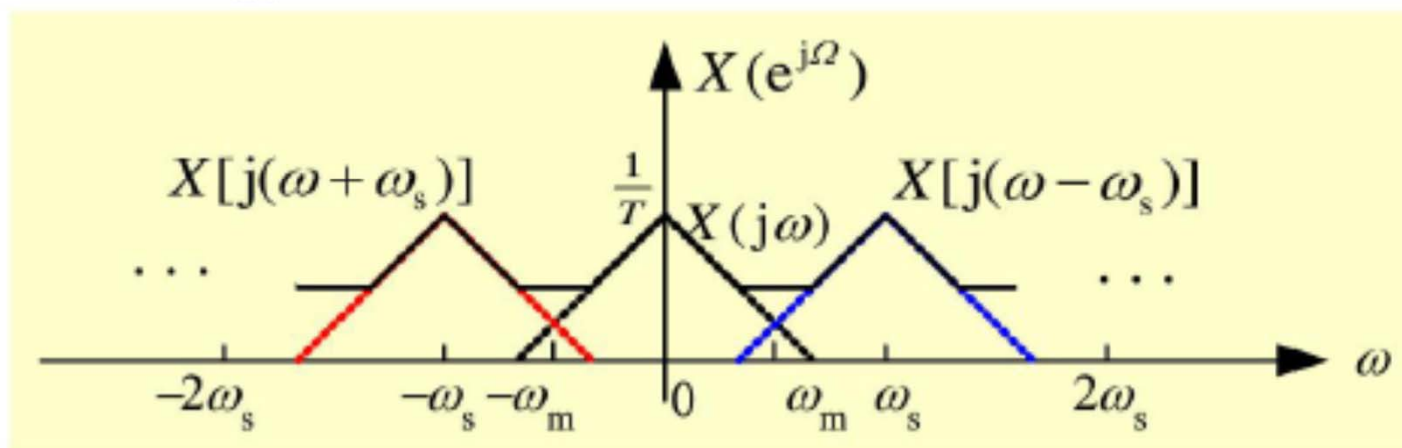
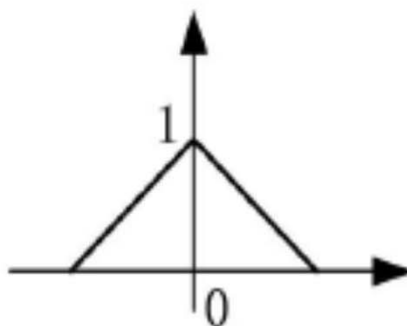


抽样定理

95

$$\omega_s < 2\omega_m$$

混叠
(aliasing)





抽样定理

96

奈奎斯特 (Nyquist) 抽样率和抽样间隔

重建原信号的必要条件:

$$\omega_s - \omega_m \geq \omega_m$$

即

$$\omega_s \geq 2\omega_m$$

$$\omega_s = \frac{2\pi}{T_s} = 2\pi \cdot f_s \geq 2\omega_m = 2 \cdot 2\pi f_m$$

不满足此条件, 就要发生频谱混叠现象

即 抽样频率 $f_s \geq 2f_m$ 是必要条件, 或抽样间隔 $T_s \leq \frac{1}{2f_m}$

$T_s = \frac{1}{2f_m}$ 是最大抽样间隔, 称为“奈奎斯特抽样间隔”

$f_s = 2f_m$ 是最低允许的抽样频率, 称为“奈奎斯特抽样频率”





抽样定理

97

例:
$$f(t) = A_1 \cos(100\pi t + \phi_1) + A_2 \cos(200\pi t + \phi_2) + A_3 \sin(1000\pi t + \phi_3)$$

信号 $f(t)$ 的最高角频率为 $\omega_m = 1000\pi$

$$f_m = \frac{\omega_m}{2\pi} = \frac{1000\pi}{2\pi} = 500\text{Hz}$$

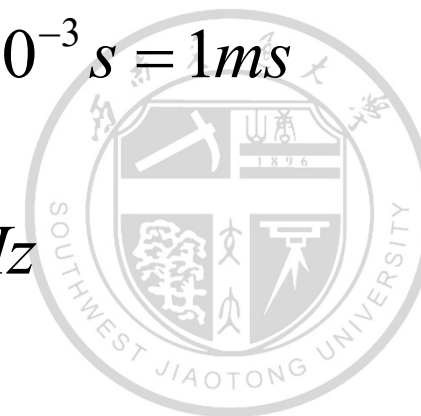
$$T_m = \frac{1}{f_m} = 2 \times 10^{-3}\text{s}$$

奈奎斯特抽样间隔:
$$T_s = \frac{1}{2f_m} = \frac{T_m}{2} = 1 \times 10^{-3}\text{s} = 1\text{ms}$$

采样间隔

$$T < T_s = 1\text{ms}$$

$$f > \frac{1}{T_s} = 1000\text{Hz}$$





抽样定理

98

例： 音频信号： $0 \sim 3.4\text{KHz}$,

信号 $f(t)$ 的最高频率为 $f_m = 3400\text{Hz}$

奈奎斯特抽样频率

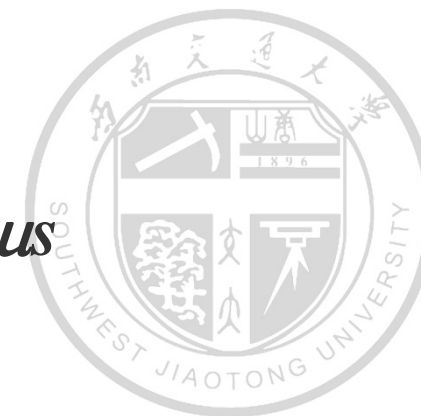
$$f_s = 2f_m = 6800\text{Hz}$$

抽样频率

$$f \geq 2f_m = 6800\text{Hz}$$

所以 $f_{s \min} = 6800\text{Hz}, T_{s \max} = \frac{1}{2f_m},$

若取 $f_s = 8000\text{Hz}$, 则 $T_s = \frac{1}{8000} = 125\mu\text{s}$





西南交通大学



谢 谢 大 家!

